

Les monnaies

Autor(en): **Geiser, Anne / Mühlemann, Yves**

Objektyp: **Article**

Zeitschrift: **Cahiers d'archéologie romande**

Band (Jahr): **74 (1999)**

PDF erstellt am: **28.06.2024**

Persistenter Link: <https://doi.org/10.5169/seals-836117>

Nutzungsbedingungen

Die ETH-Bibliothek ist Anbieterin der digitalisierten Zeitschriften. Sie besitzt keine Urheberrechte an den Inhalten der Zeitschriften. Die Rechte liegen in der Regel bei den Herausgebern.

Die auf der Plattform e-periodica veröffentlichten Dokumente stehen für nicht-kommerzielle Zwecke in Lehre und Forschung sowie für die private Nutzung frei zur Verfügung. Einzelne Dateien oder Ausdrucke aus diesem Angebot können zusammen mit diesen Nutzungsbedingungen und den korrekten Herkunftsbezeichnungen weitergegeben werden.

Das Veröffentlichen von Bildern in Print- und Online-Publikationen ist nur mit vorheriger Genehmigung der Rechteinhaber erlaubt. Die systematische Speicherung von Teilen des elektronischen Angebots auf anderen Servern bedarf ebenfalls des schriftlichen Einverständnisses der Rechteinhaber.

Haftungsausschluss

Alle Angaben erfolgen ohne Gewähr für Vollständigkeit oder Richtigkeit. Es wird keine Haftung übernommen für Schäden durch die Verwendung von Informationen aus diesem Online-Angebot oder durch das Fehlen von Informationen. Dies gilt auch für Inhalte Dritter, die über dieses Angebot zugänglich sind.

LES MONNAIES



Anne GEISER et Yves MÜHLEMANN

LES MONNAIES

Commentaire et interprétation

La répartition archéologique¹

La fouille de Chavannes 11 a livré 263 monnaies², qui proviennent de quatre zones ou maisons (A, B, C et D) situées de part et d'autre d'une des rues principales du *vicus* de *Lousonna*³. Ces pièces, tout comme l'ensemble du mobilier découvert, sont pour la plupart rattachées à une succession de dix horizons, observés dans chacune des maisons. C'est leur position stratigraphique qui permet de répartir ces trouvailles monétaires en quatre groupes (fig. 41) :

1^{er} groupe: monnaies issues des niveaux d'occupation ou de démolition des différents habitats qui se sont succédé durant près de trois siècles sur les quatre zones de la fouille⁴. Quand ces niveaux existent, ils fournissent d'excellentes indications sur les débuts et les durées de circulation des espèces monétaires. Ce groupe comprend 32 exemplaires (12,16%), dont 10 proviennent de la maison A, 15 de la B, 7 de la C et aucune de la D.

2^e groupe : monnaies issues des remblais d'installation des différentes habitations qui se sont succédé sur l'ensemble de la fouille. Les pièces rattachées à ces couches, qui comprennent un important mobilier résiduel, ne sont pas forcément représentatives des monnaies en circulation au moment de la mise en place du remblai. 171 exemplaires (65,01%) appartiennent à cette catégorie de mobilier, dont 35 proviennent de la maison A, 83 de la B, 27 de la C et 26 de la D.

3^e groupe: monnaies qui appartiennent à des ensembles de mobilier regroupant plusieurs phases de construction d'une habitation. Ces ensembles, aux datations très larges, n'ont pas été rattachés au système des horizons. Ce groupe ne compte d'ailleurs que 7 monnaies (2,66%).

4^e groupe : monnaies provenant d'ensembles non stratifiés⁵ (53 monnaies, soit 20,15%).

Notre étude porte essentiellement sur les deux premiers groupes de monnaies, considérés soit séparément, soit globalement au sein d'un même horizon⁶.

Les monnaies du groupe 2 représentent 65,05% de la totalité des 263 pièces, alors que celles du groupe 1 n'équivalent qu'à 12,16%. Dans les deux cas, c'est la maison B qui a livré le plus de monnaies (5,7% pour le groupe 1 et 31,5% pour le groupe 2) probablement en raison de la très bonne conservation des couches du I^{er} s. apr. J.-C.

Le faciès général

Ce sont les ateliers de l'empereur Auguste (95/263: 36,12%) qui ont fourni la plus grande part des monnaies de Chavannes 11 (fig. 42 et 43); viennent ensuite ceux de la République romaine (37/263: 14,06%) et de Tibère (26/263: 9,88%) (fig. 46). Il convient d'observer la faiblesse de l'apport en monnaies de Caligula à Nerva (14,42% du faciès), inférieures à 5% pour chaque empereur représenté. La diminution du volume monétaire est encore plus importante de Trajan à Constantin I (9,5%). Les ateliers provinciaux de Lyon (45/ 90: 50,0%) et de Nîmes (34/90: 37,77%) ont fourni le plus grand nombre de pièces d'Auguste, soit à eux seuls 87,77%. Plus de 28% (74/263) des monnaies sont partagées. Il s'agit principalement de républicaines (25/263) et d'augustéennes (Nîmes 25/263, Lyon 8/263, Rome 2/263) contre quatre à peine de Tibère.

La fouille de Chavannes 11 a procuré trois fois plus de monnaies républicaines (14,06%) que l'ensemble des investigations menées dans le *vicus* de *Lousonna* depuis les années trente (entre 2 et 5%). Quant aux pièces augustéennes, elles représentent 36,1% à Chavannes 11, contre moins de 20% sur l'ensemble du site⁷.

Les niveaux plus anciens de ces quartiers n'ont pratiquement jamais été fouillés, contrairement à ceux de Chavannes 11. C'est ce qui permet sans doute d'expliquer le plus fort pourcentage en monnaies républicaines et augustéennes de notre site.

Autorité	argent		airain								Total	
	drachme	quinaire	bronze frappé				bronze coulé					
	2	5	5	1/2 dp	as	1/2 as	dp/as	1/2 dp/as	semis	quadrans		
Gaulle (IIe/Ier s. av. J.-C.)												10
Rome, République et gallo-romaines (-211 à -27)	5	2		1	5	1	1	3	19			37
Auguste, Treviri ? (ca. -20)											5*	5
Auguste, Nîmes (ca. -20 à 14)				9	25							34
Auguste, Lyon (ca. -15 à 14)	2					24	8			5	6	45
Auguste, Rome (ca. -19 à 14)				1		6	2				2	11
Tibère (14-37)	1					20	4	1				26
Caligula (37-41)				2		7						9
Claude Ier (41-54)						5					1	6
Indét. (ca. 0-50)						4	10	1				15
Néron (54-68)	1		1	2						4		8
Vespasien (69-79)	1			3		4						8
Domitien (81-96)				2		5						7
Nerva (96-98)				1		1						2
Indét. (Ier s. apr. J.-C.)						1		4				5
Trajan (98-117)			1	1		3						5
Hadrien (117-138)				2		1		2				5
Antonin le Pieux (138-161)						3		1				4
Marc Aurèle (161-180)				2		2						4
Commode (180-192)						1						1
Indét. (Ier-IIe s.)								2				2
Septime Sévère (193-211)	2											2
Macrin (217-218)	1											1
Gordien III (238-244)	1											1
TOTAL	14	2	2	26	30	88	25	14	19	9	14	243
Tétricus I (271-274)	Antoninien											1
Constantin I (306-337)								Follis/aes				1
Indét. 2e moitié IVe s. apr. J.-C.									1			1
Indét.						3						3
Indét. ou non monétaire						4						4
TOTAL												263

Fig. 42. Faciès des émissions monétaires classées par autorité d'émission, métaux et valeurs.

* Cat. 1263-1266: bronzes à la légende GERMANVS INDVTILLI L. ca. 10 av. J.-C. RIC I 2. 249: classés sous l'appellation de «quadrans?»

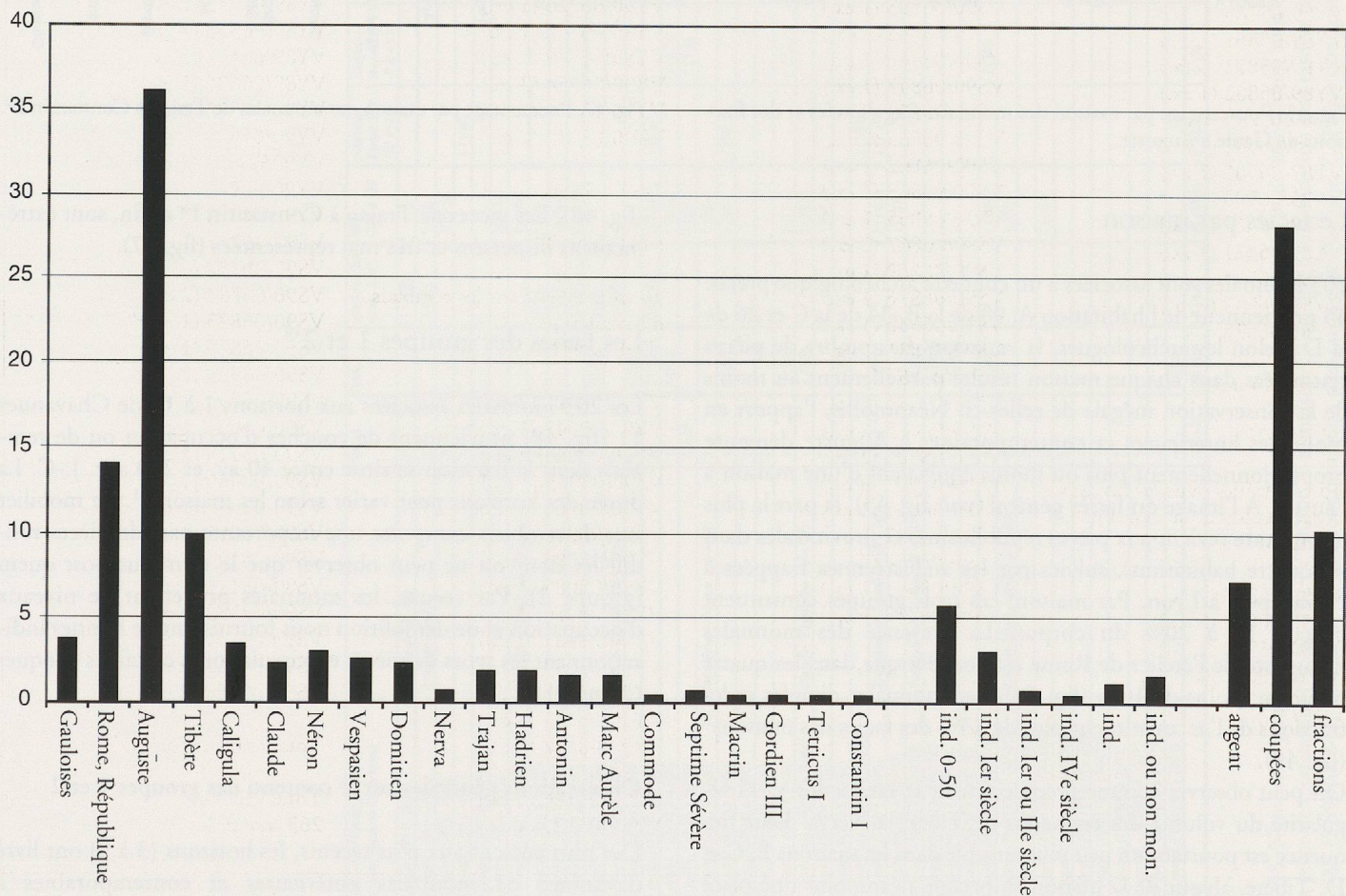


Fig. 43. Faciès général des émissions monétaires par période ou empereur.

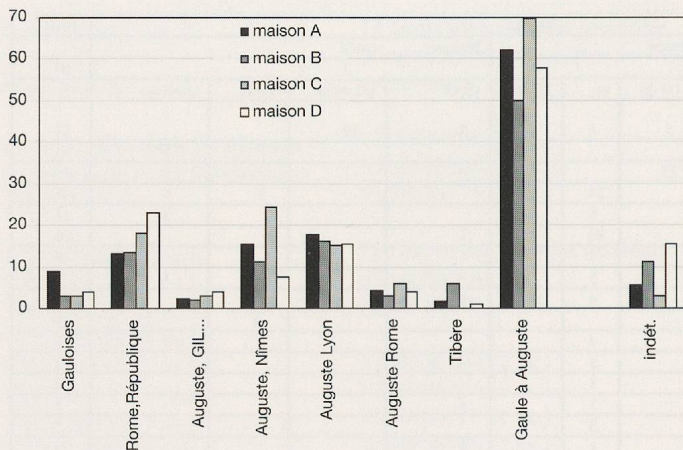


Fig. 44. Pourcentage par maison des monnaies de Gaule à Auguste.

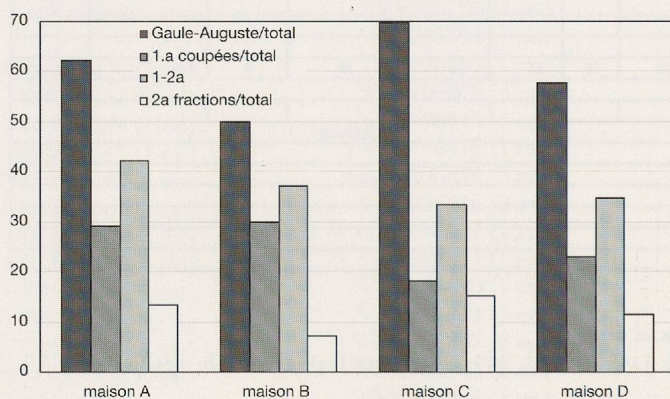


Fig. 45. Pourcentage par maison des monnaies fragmentées et des fractions de Gaule à Auguste.

Le faciès par maison

203 monnaies sont associées à un contexte archéologique précis: 45 proviennent de l'habitation A, 98 de la B, 34 de la C et 26 de la D. Selon les archéologues, la variation du nombre de pièces retrouvées dans chaque maison résulte partiellement au moins de la conservation inégale de celles-ci. Néanmoins, l'apport en monnaies antérieures et contemporaines à Auguste demeure proportionnellement plus ou moins équivalent d'une maison à l'autre⁸. A l'image du faciès général (voir fig. 43), la part la plus importante revient aux pièces républicaines et provinciales dans les quatre habitations, suivies par les augustéennes frappées à Nîmes puis à Lyon. Par maison, ces trois groupes constituent chacun 10 à 20% du corpus. La présence des monnaies d'Auguste de l'atelier de Rome est anecdotique dans les quatre maisons: moins de 10% (fig. 44). Les monnaies divisées et les fractions de l'*as* constituent plus de 33% des faciès des maisons⁹ (fig. 45).

On peut observer comme précédemment la raréfaction et l'irrégularité du volume des émissions de Tibère à Nerva. Leur fréquence est pourtant un peu plus sensible dans les maisons B, C et D. Tibère, absent de la maison B, occupe néanmoins une place perceptible ailleurs où ses monnaies dépassent régulièrement 7%

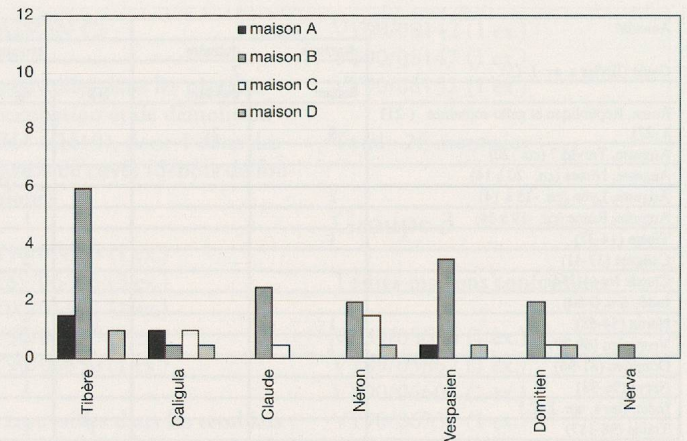
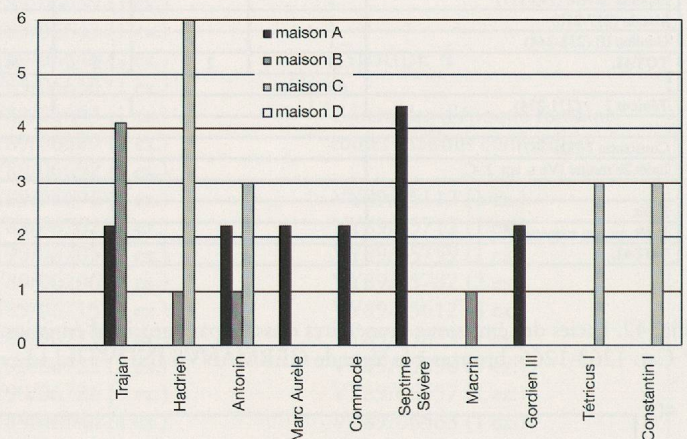


Fig. 46. Pourcentage par maison des monnaies de Tibère à Nerva.

Fig. 47. Pourcentage par maison des monnaies de Trajan à Constantin I^{er}.

(fig. 46). Les pièces de Trajan à Constantin I^{er} enfin, sont extrêmement dispersées et très mal représentées (fig. 47).

Les faciès des groupes 1 et 2¹⁰

Les 203 monnaies associées aux horizons 1 à 10 de Chavannes 11 (fig. 48) proviennent de couches d'occupation ou de remblais dont la datation se situe entre 40 av. et 250 apr. J.-C. La durée des horizons peut varier selon les maisons¹¹. Le mobilier issu de remblais comporte une importante part de pièces résiduelles dont on ne peut observer que le terminus post quem (groupe 2). Par contre, les monnaies provenant de niveaux d'occupation et de démolition nous fournissent de bonnes indications sur les types de pièces en circulation à certaines époques (groupe 1).

Observations générales sur le contenu des groupes 1 et 2

Des plus anciens aux plus récents, les horizons (3 à 9) ont livré davantage de monnaies antérieures et contemporaines à Auguste (114/201: 56,7%)¹² que de Tibère aux empereurs du

Horizon, état/valeur, nb (%: rapport au total de l'horizon)	Règles	Total	Ind.	gauloise lers. av. J.-C.	RR -211 à -27	Auguste Rome I/II -19 à -15	Auguste Rome III/IV -9 à +12	Auguste GIL -15 à -10	Auguste Nîm. IIa/b -20 à -10	Auguste Nîm. II/III -20 à +14	Auguste Lyon I -15 à -10	Auguste Lyon II +8 à +14	Auguste Lyon I/II -15 à +14	Tibère 14 à 37	Caligula 37 à 41	Claude 41 à 54	Néron 62 à 68	Vespasien à IV s.
BH2 fosse (-40 à -20)	RR/Gaule (à -27)	1		1 (100)														
AH3 rembl. (-20 à -10/1)	Auguste (à +14)	2		1 (50)	1 (50)													
BH3 rembl. (-20 à -10/1)		3			1 (33.3)				2 (66.7)									
CH3 démol. (-20 à -10/1)		1				1 (100)												
DH3 rembl. (-25/20 à -10/1)		1							1 (100)									
DH4 occup. (-10/1 à 10/20)	Auguste -Tibère (à +37)	3			2 (66.6)				1 (33.3)									
AH4 rembl. (-10/1 à 10/20)		1			1 (100)													
BH4 rembl. (-10/1 à 10/20)		4		1 (25)	2 (50)					1 (25)								
CH4 rembl. (-10/1 à 10/20)		6		2 (33.3)	1 (16.6)				1 (16.6)	2 (33.3)								
DH4 rembl. (-10/1 à 20/20)		3		1 (33.3)	2 (66.6)													
AH5 démol. (10/20 à 40/50)	Tibère-Claude (à +54)	4	2 (50)	1 (25)							1 (25)							
BH5 occup. (10/20 à 40/50)		1		1 (100)														
AH5 rembl. (10/20 à 40/50)		5	1 (20)					1 (20)			1 (20)	1 (20)	1 (20)					
BH5 rembl. (10/20 à 40/50)		12	2 (16.6)	1 (8.3)	1 (8.3)	1 (8.3)		1 (8.3)	2 (16.6)	2 (16.6)	1 (8.3)	1 (8.3)						
BH5 rembl. (10/20 à 40/50)		11	1 (9.1)		1 (9.1)	1 (9.1)	1 (9.1)	1 (9.1)	2 (18.2)	2 (18.2)	1 (9.1)	1 (9.1)						
DH5 rembl. (10/20 à 40/50)	12+1*				3 (25)		1 (8.4)		3 (25)	2 (16.7)	1 (8.4)				1 (8.3)	1 (8.3)		
DH5 rembl. (20/30 à 50/50)	les mêmes +Néron (à +68)	5			1 (20)			1 (20)		1 (20)	2 (40)							
AH6 rembl. (40/50 à 50/50)		4	1 (25)		1 (25)	1 (25)								1 (25)				
CH6 occup. (40/50 à 60/70)		1							1 (100)									
BH6 rembl. (40/50 à 60/70)		2							1 (50)		1 (50)							
BH6 rembl. (40/50 à 70/80)		18	3 (16.7)		2 (11.1)		1 (5.5)		1 (5.5)	1 (5.5)		3 (16.7)	1 (5.5)	3 (16.7)		1 (5.5)	2 (11.1)	
BH6 rembl. auel. (40/50 à 70/80)	Claude-Vespasien (à +79)	11	1 (9.1)		5 (45.4)									3 (27.3)		1 (9.1)		1 (9.1)
AH7 rembl. (50/60 à 70/80)		7			1 (14.3)				1 (14.2)		2 (28.5)	1 (14.3)		1 (14.3)				1 (14.3)
CH7 rembl. (60/70 à 70/80)		5	1 (20)					1 (20)			1 (20)		1 (20)					
BH7 rembl. auel. (70/80 à 80/90)		1				1 (100)												
BH7 rembl. (70/80 à 80/90)	Vespasien à Domitien (à +96)	13+1**	1 (7.1)		2 (14.2)	1 (7.1)					1 (7.1)			3 (21.4)	1 (7.1)	1 (7.1)	1 (7.1)	2 (14.2)
DH7 rembl. (60/70 à 90/100)		4			1 (25)						1 (25)			1 (7.1)		1 (7.1)		1 (25)
AH8 occup. (70/80 à 100/110)	Vespasien à Trajan (à +117)	5	1 (20)							1 (20)	1 (20)	1 (20)		1 (20)				
BH8 démol. (80/90 à 100/110)		7		1 (14.3)						1 (14.3)				1 (14.3)		1 (14.3)	1 (14.3)	2 (28.6)
BH8 rembl. (80/90 à 100/110)		17	3 (17.6)									1 (5.9)	1 (5.9)	1 (5.9)		1 (5.9)		9 (58.8)
CH8 rembl. (70/80 à 100/110)		1											1 (100)					
DH8 rembl. (90/100 à 100/110)		5	1 (20)		1 (20)		1 (20)							1 (20)				1 (20)
BH9 occup. (100/110 à 170/180)	Trajan-Marc Aurèle (à +180)	2			1 (50)													1 (50)
DH9 rembl. (100/110 à 170/180)		2																2 (100)
DH9 rembl. (100/110 à 170/180)		1			1 (100)													
AH9 occup. (100/110 à 180/200)		2									1 (50)				1 (50)			
CH9 occup. (100/110 à 180/200)		4															3 (75)	1 (25)
AH9 rembl. (100/110 à 180/200)		3												1 (33.3)				2 (66.6)
AH10 occup. (180/200 à 250?)		2																2 (100)
AH10 rembl. (180/200 à 250?)		3																3 (100)
CH10 rembl. (180/200 à 250?)		2																2 (100)
DH10 rembl. (170/180 à 250?)		4	1 (25)											1 (25)			1 (25)	1 (25)
Total		201+2	20 (10)	9 (4.5)	31 (15.4)	5 (2.5)	4 (2)	5 (2.5)	15 (7.5)	13 (6.45)	16 (7.96)	9 (4.47)	7 (3.5)	16 (7.9)	6 (3)	6 (3)	9 (4.5)	30 (15)

Fig. 48. Nombre et pourcentage des monnaies dans les niveaux d'occupation et de démolition, ainsi que dans les remblais.

* La pièce de Constantin I^{er}, cat. 791 (VY90/06754, maison C) est une contamination plus tardive de l'horizon 5. Elle n'est donc pas comptée dans la statistique. ** Le denier fourré de Macrin, cat. 788 (VS90/06843, maison B) est une contamination plus tardive de l'horizon 7. Il n'est donc pas compté dans la statistique.

IV^e siècle. Cela se conçoit bien dans le cas de remblais qui expriment des circulations à la fois résiduelles et contemporaines. Les monnaies antérieures (17 pièces) et contemporaines (10 pièces) à Auguste (-27 à 14), constituent la totalité des découvertes (100%) des horizons augustéens et tibériens (3 à 4 inclus: -20 à 10/30). Les empereurs Tibère, Caligula et Claude I^{er} ne sont représentés que par trois monnaies, à partir des horizons 5 et 6 contemporains à leurs règnes, soit de 10/20 à 50/60 (3/41: 7,3%).

La découverte en nombre élevé de monnaies antérieures et contemporaines à Auguste dans des niveaux stratifiés (en particulier celles rattachées au groupe 1), peut par conséquent témoigner du début de leur diffusion et de la durée vraisemblable de leur circulation dans le cas particulier de ce quartier artisanal des rives du Léman. Il convient donc d'en examiner les différentes catégories et d'en comparer la circulation avec celle d'autres sites géographiquement proches et fouillés récemment selon les mêmes méthodes: Genève, Saint-Gervais et Avenches En Chaplix¹³.

Les autres émissions julio-claudiennes, flaviennes et des II^e et III^e siècles sont étudiées dans une perspective plus large, car leur présence est trop peu importante pour être bien significative.

a) Emissions de La Tène finale, républicaines et julio-claudiennes

Les ateliers des peuples indigènes et de la *Provincia*, particulièrement Vienne, Coptia (Lyon) et surtout Nîmes sont les principaux pourvoyeurs monétaires de la Gaule dès le I^{er} siècle av. J. C. C'est en effet sous Octave/Auguste que débute leurs émissions. A l'orée de son principat, en 23/19, le premier empereur romain réforme la monnaie. Il introduit un nouveau système de valeurs taillées dans trois métaux, l'or, l'argent et l'airain et frappées principalement à Rome et à Lyon¹⁴. D'usage quotidien, l'airain comprend l'as, le sesterce et le *dupondius* valant respectivement quatre et deux as, le *semis* et le *quadrans* en valant un demi et un quart.

Monnaies gauloises

9 monnaies gauloises proviennent des ensembles de Chavannes 11 (9/201: 4,5%). Elles apparaissent dans une fosse datée de 40 à 20 av. J.-C. et sont attestées pour la dernière fois entre 10/20 à 40/50 de notre ère (horizon 5 de la maison A).

C'est un petit potin à la légende TVRONOS qui provient de la fosse (horizon 2), datée de 40 à 20 av. J.-C.¹⁵. Pour certains, le début de la production de cette pièce remonterait aux toutes dernières décennies avant notre ère¹⁶. Les fouilles récentes de Besançon¹⁷ ont livré quelques potins de ce type dans des niveaux datés de 120 à 40 av. J.-C. L'émission pourrait donc en être fixée au plus tard à partir de 40 av. J.-C.¹⁸

A l'instar de notre site, les contextes de trouvailles de Saint-Gervais à Genève attestent des circulations anciennes et homogènes de monnaies gauloises à partir de 40/20 av. J.-C. jusqu'au moins à 0/50 apr. J.-C.¹⁹

A partir de l'examen de deux sites gallo-romains, la durée de circulation des monnaies gauloises dans le bassin lémanique se situe entre la période d'émission de ces séries, soit au cours du I^{er} siècle av. J.-C., et l'époque julio-claudienne, soit à la moitié du I^{er} siècle de notre ère au plus tard.

Monnaies républicaines et provinciales

Les ensembles de Chavannes 11 renferment 31 monnaies républicaines ou provinciales, émises entre 211 et 27 av. J.-C. (31/201:15,42%). Ces numéraires apparaissent dans des contextes datés de -20 à -10/1 (horizon 3)²⁰ et sont régulièrement présents dans les remblais des horizons 4 à 9 (I^{er}-II^e s. apr. J.-C.). Si la plupart de ces monnaies sont vraisemblablement résiduelles, la présence d'une pièce de ce type (cat. 1242) dans un niveau d'occupation de l'horizon 9 de la maison B (100/110 à 170/180?) montre qu'elles étaient peut-être encore épisodiquement en circulation au II^e siècle.

A Genève, les espèces républicaines semblent circuler plus tardivement qu'à Chavannes 11: elles n'apparaissent que dans des contextes datés de 0/20 apr. J.-C., après les monnaies nîmoises²¹. On les trouve jusque dans les années 40/50.

Contrairement à Chavannes 11, cette catégorie à Avenches En Chaplix est représentée, bien que de façon anecdotique, dans les contextes de 50/58 à 70/78 (4 exemplaires dans les séries I à V, soit 4,47%)²². Il s'agit probablement dans ce cas comme dans l'horizon 9 de Chavannes 11, de résurgences irrégulières de la circulation de ces monnaies.

On peut donc déduire de l'examen de nos sites que les bronzes républicains circulent encore régulièrement d'Auguste à Tibère, puis de manière épisodique pendant toute l'époque julio-claudienne et peut-être au-delà.

Monnaies augustéennes

Les ensembles de sept horizons comprennent 74 monnaies augustéennes (36,8%) dont 28 des deux séries nîmoises, 32 des deux séries lyonnaises et 4 romaines sénatoriales.

Nîmes

Les plus anciennes pièces de cette catégorie (4 pièces de la série IIa, 20/10 av. J.-C.) proviennent de l'horizon 3 (-20 à -10/1). Elles figurent ici à parts égales avec les républicaines²³ et subsistent très irrégulièrement jusque dans l'horizon 8 (maisons A, 70/80 à 100/110 et maison B, 80/90 à 100/110).

Il convient de noter également à Saint-Gervais comme à Chavannes 11 la circulation des premières émissions augustéennes de Nîmes dès 20/0 av. J.-C.²⁴. Il n'y a plus aucune monnaie nîmoise à En Chaplix²⁵.

La diffusion des séries nîmoises est donc pratiquement contemporaine de leur émission. Il n'est pas exclu que le retrait de ces espèces ait débuté déjà vers le milieu du I^{er} siècle de notre ère²⁶.

Lyon

Un *quadrans* de la première série (15/10 av. J.-C.) d'Auguste à Lyon apparaît dès l'horizon 4 (-10/1 à 10/20), soit très rapidement après son émission. C'est la monnaie la plus récente découverte dans cet horizon. A Chavannes 11, la seconde série des autels de Lyon frappés entre 9 et 14 apr. J.-C. apparaît à partir de l'horizon 5 (maison B, 10/20 à 40/50). L'exemplaire de cette catégorie dont la circulation est la plus récente, a été découvert dans des niveaux d'occupation de la maison A (horizon 9, 100/110 à 170/200).

Il est possible que la circulation de la première série de Lyon dans notre région ait été contemporaine à son émission. En effet, les contextes de ce numéraire remontent à 15/10 av. J.-C. à Saint-Gervais comme à Chavannes 11²⁷. Contrairement aux espèces précédentes, les monnaies augustéennes de Lyon semblent avoir perduré plus régulièrement jusqu'à l'époque flavienne. C'est ce que montre leur présence à Chavannes 11 et à En Chaplix où les deux séries confondues sont représentées dans les différents niveaux d'occupation de 50-57/58 à 65-78/80²⁸.

Rome: monnayage sénatorial

Un seul exemplaire des monnaies sénatoriales d'Auguste figure dans un niveau d'occupation à Chavannes 11. Il s'agit probablement d'une imitation de l'*as* de la série sénatoriale émise en 16 av. J.-C. à Rome²⁹. Sa présence dans les niveaux de l'horizon 3 (20 à 10/1 av. J.-C.) est précoce pour une imitation. A Genève, aucune monnaie de cette catégorie n'est apparue dans la succession d'ensembles de 20 av. J.-C. à 100 de notre ère. Aucun exemplaire (romain et imitation) de ces séries n'apparaît en contexte daté à Avenches En Chaplix. A Chavannes 11 comme à En Chaplix, leur nombre est anecdotique en contextes résiduels. Leur circulation probablement de courte durée ne peut pas être établie.

La diffusion et la durée de circulation des émissions d'Auguste s'échelonne donc de 20 av. J.-C. à 100/110 et 180/200 de notre ère à Chavannes 11. Les espèces les plus fréquentes sont celles que produisent les ateliers de la Gaule romaine (65/74: 87,8%).

Autres monnaies julio-claudiennes

Une monnaie de Tibère (15-16), une de Caligula pour Agrippa (37-41) et une de Claude I (41-50), toutes trois frappées à Rome, constituent les trois monnaies les plus récentes des horizons 5 et 6 de la maison A (10/20 à 50/60)³⁰. Ce sont aussi les premières pièces postérieures à Auguste issues des ensembles de Chavannes 11.

La plupart des émissions julio-claudiennes disparaissent entre les horizons 8 et 9, soit au plus tard vers 200 de notre ère.

Conclusion

Les fouilles archéologiques récentes menées à Chavannes 11, Saint-Gervais et En Chaplix, laissent observer une diffusion et une durée de la circulation des espèces gauloises, républicaines

et augustéennes variable parfois d'une localité à l'autre. La nature et la situation géographique des sites examinés sont sans doute à l'origine de ces différences. L'examen comparé de plusieurs exemples régionaux permet donc de nuancer la généralisation des observations concernant la circulation des espèces.

Dans les sites examinés, les monnaies gauloises cessent de circuler dès le premier ou le deuxième quart du I^{er} siècle. Deux exemples disparates de leur présence, l'un dans un trésor enfoui vers l'an 10 de notre ère (La Villeneuve-au-Châtelot-Aube, Nogent-sur-Seine) et l'autre, dans un site dont l'occupation ne débute qu'entre 10 et 17 (Vindonissa), montrent que leur durée de circulation à l'époque julio-claudienne est également connue ailleurs en Gaule romaine³¹.

Les monnaies républicaines, et particulièrement les bronzes, apparaissent tôt à Chavannes 11 comme à Saint-Gervais, leur disparition débutant dès le deuxième quart du I^{er} siècle. Ces observations ne coïncident pas avec celles de Kraay pour les sites septentrionaux de Vindonissa, Haltern, Oberaden et Neuss où l'airain républicain aurait surtout complété les numéraires de l'époque de Claude I^{er} et de Néron³². Contrairement à leur circulation sur certains sites militaires du *limes* rhénan à la même époque, les séries sénatoriales de Rome sont très mal représentées dans les horizons augustéens 3 et 4 contre davantage de pièces de la République et provinciales de Nîmes³³. Il se peut que les circulations des bronzes républicains aient subi un décalage de quelques années entre la Suisse occidentale, la Suisse septentrionale et l'Allemagne du sud. C'est une hypothèse qu'il conviendra de vérifier avec le matériel récemment mis au jour dans ces régions. Néanmoins, nous pouvons d'ores et déjà affirmer que la présence plus importante de monnayage sénatorial dans ces sites est liée à celle des légions romaines, ce qui n'est évidemment pas le cas à Lausanne ou à Genève.

Comme le présentait déjà au siècle passé Morel-Fatio, on peut considérer que la monnaie nîmoise constitue la base de la circulation monétaire de Suisse occidentale aux époques augustéenne et tibérienne³⁴. Son complément est formé d'anciens bronzes républicains et provinciaux et de quelques gauloises résiduelles. La pénétration de ces émissions dès 20 à 10/1 av. J.-C. témoigne de la précocité d'un usage quotidien de la monnaie romaine au nord du bassin lémanique. L'usage abondant d'espèces plus anciennes dans le courant du I^{er} siècle de notre ère souligne aussi la pénurie d'airain dont souffrait notre région comme l'ensemble de la Gaule romaine au début du Principat. Les numéraires nîmois ne sont probablement plus en circulation sur nos sites dès le deuxième quart du I^{er} siècle de notre ère; ceux de Lyon et de Rome entre le quatrième quart et la réforme de Trajan³⁵. Cette réforme contribue à éliminer de manière plus ou moins définitive ces anciennes pièces puisque seules deux d'entre elles subsistent encore dans des niveaux d'occupation plus tardifs de Chavannes 11 (républicaine en BH9 et lyonnaise en AH9).

Ainsi, les premières tentatives de retrait monétaire, probablement autour de 50 apr. J.-C., ont pour objectif l'élimination des espèces antérieures et non conformes à la réforme d'Auguste. Comme on l'examinera plus bas, leur usage prend différents aspects bien connus dans nos régions que les

ensembles de Chavannes 11 comprennent également : quelques imitations et, surtout des monnaies divisées et fourrées.

b) Période 69 après J.-C. - IV^e siècle

Monnaies flaviennes

La réforme monétaire de Néron entreprise en 64 entraîne la réouverture de l'atelier de Lyon. Celui de Rome tient désormais un rôle secondaire dans l'approvisionnement des provinces voisines de la Gaule. C'est l'atelier gaulois qui leur fournit habituellement la plus grande part du monnayage et cela jusqu'à sa fermeture survenue sous Domitien³⁶. Ce rôle primordial n'est pourtant pas attesté à Chavannes 11, où Rome domine avec 8 exemplaires (62%) sur les 13 monnaies dont la provenance a pu être déterminée.

Les premières pièces de Néron et de Vespasien à apparaître dans nos contextes constituent également les monnaies les plus récentes de l'horizon 6 (remblais et atelier de métallurgie de la maison B). La plupart des émissions flaviennes disparaissent entre les horizons 8 et 9, soit au plus tard entre 70/200 de notre ère.

Monnaies des II^e et III^e siècles

Il convient de noter la relative faiblesse de l'apport des monnaies du II^e siècle (voir fig. 43) qui ne peut pas s'expliquer par un appauvrissement du volume des émissions monétaires.

En effet, la politique des Antonins se caractérisait par l'abondance des frappes en bronze qui alimentaient la Gaule et les provinces voisines. C'est tout au moins ce que semblent indiquer les trouvailles de sites³⁷.

La présence anecdotique de monnaies du III^e siècle est également à souligner. Cette vision purement statistique mérite toutefois d'être modérée, lorsqu'on sait que, dès l'avènement de Septime Sévère, le volume des émissions de bronze chute brutalement³⁸. Cet état de fait prolongera la durée de circulation des espèces frappées au II^e siècle³⁹. Ainsi, certaines d'entre elles seront encore utilisées jusque vers 270. La date d'émission du monnayage de bronze du second siècle ne constitue par conséquent qu'un terminus post quem et les pourcentages de numéraire du III^e siècle pourraient être supérieurs à ceux mis en évidence (voir fig. 43).

Le petit nombre de monnaies du II^e siècle, de la seconde moitié du III^e (pourtant émises en quantités vertigineuses)⁴⁰, tout comme celles du IV^e siècle, dont le pourcentage est largement inférieur à celui des sites importants du Plateau suisse⁴¹, pourrait s'expliquer par l'absence des couches supérieures de Chavannes 11, arasées en 1960.

c) Monnaies divisées et fractions⁴²

Les quatre maisons de Chavannes 11 comptent 56 monnaies coupées en deux parts et 22 fractions sur 172 monnaies d'airain (45,3%) .

Airain républicain et julio-claudien divisé en contextes julio-claudiens

Les ensembles de l'horizon 3 (-20 à -10/1) comptent 4 pièces divisées sur 8 d'airain, antérieures et contemporaines à Auguste (50%). Ce sont les plus anciennes monnaies partagées retrouvées à Chavannes 11 dans des contextes contemporains à -20 à -10/1: 2 républicaines ou provinciales émises avant 27 av. J.-C. et 2 nîmoises frappées vers 25/20 à 10 av. J.-C. Si le début de la division des monnaies républicaines est difficile à déterminer, celle des nîmoises a lieu ici très peu de temps après leur frappe, soit entre 20 à 10/1 av. J.-C.

Un *as* de Lyon coupé en deux et produit entre -15 à +14 apparaît pour la première fois dans les niveaux d'occupation de la maison B, horizon 5 (10/20 à 40/50). Il aurait donc été divisé entre 1 et 65 ans après son émission.

Le bronze partagé de la République qui paraît être en circulation le plus tardivement a été découvert dans les niveaux d'occupation de la maison B (horizon 9, 100/110 à 170/180). Des ensembles de l'horizon 8 (maison A, 70/80 à 100/110 et maison B, 80/90 à 100/110) ont fourni les derniers *as* coupés de Nîmes et de Lyon trouvés dans des niveaux d'occupation (groupe 1). Dès cet horizon, les monnaies fragmentées sont de plus en plus rares (moins de 15%).

A Saint-Gervais, les premières monnaies romaines partagées également stratifiées entre -20 et 0 sont nîmoises⁴³. Cela confirme leur division précoce. A En Chaplix, les espèces dont la circulation cesse entre 50/58 à 78/80 de notre ère sont très rarement coupées, 2 sur 4 républicaines et aucune sur 11 monnaies augustéennes⁴⁴.

La faible part des monnaies républicaines (0%) et de Nîmes divisées⁴⁵ (moins de 20% sur l'ensemble des monnaies de cet atelier) dans les autres quartiers de Vidy résulte de fouilles incomplètes. Elle est beaucoup plus importante dans les interventions récentes⁴⁶, qui ont permis d'atteindre les niveaux anciens comme à Chavannes 11⁴⁷.

La plupart des monnaies partagées à Chavannes 11 sont républicaines, provinciales et augustéennes/nîmoises sauf quelques rares spécimens de la réforme frappés à Lyon. C'est donc dès le moment où les plus anciennes émissions augustéennes, celles de Nîmes, sont diffusées qu'elles sont fragmentées⁴⁸. Républicaines (sauf 1 exemplaire) et augustéennes divisées semblent disparaître pratiquement complètement entre le dernier quart du I^{er} siècle et la réforme de Trajan. L'examen des trouvailles de Chavannes 11 permet-il d'en préciser la fonction ?

Rapport des monnaies partagées et des fractions en circulation datées

Buttrey a présenté deux périodes successives de division des monnaies gallo-romaines, mais l'interprétation qu'il en a donnée a été contestée⁴⁹. Plus récemment Zehnacker et Amandry ont proposé de donner la valeur de *dupondius* aux monnaies provinciales de Vienne, Copia et Nîmes plus lourds que les *as* de la réforme d'Auguste⁵⁰. On peut donc d'observer la séquence suivante:

A. la division de bronzes républicains et de l'airain colonial (Copia, Vienne et Nîmes I et II). D'un poids plus élevé que celui des *as* augustéens de Rome et de Lyon, ils correspondent au *dupondius*. Leur division permet donc de créer des *as*⁵¹.

B. la division des *as* impériaux de la réforme d'Auguste, frappés à Rome et Lyon, pour créer des subdivisions de l'*as*: *semis* ou *quadrans*⁵².

A Chavannes 11 (fig. 49), 40 pièces divisées appartenant au groupe A (21 républicaines et 19 nîmoises) sont 5,7 fois plus nombreuses que les augustéennes de Rome et de Lyon (7) du groupe B, valant un *semis*⁵³. Il convient toutefois de nuancer ce rapport en y ajoutant 9 monnaies divisées indéterminées appartenant plus probablement au groupe B. Dans les niveaux d'occupation et de démolition de notre site (groupe 1), les exemplaires du groupe B ne figurent qu'à partir de l'horizon 5 (10/20 à 40/50), soit entre Tibère et Claude, alors que ceux du groupe A représentent un fort pourcentage des horizons 3 (-25/-20 à -10/1) à 6 (40/50 à 70/80).

On observe ainsi que les *as* manquent particulièrement à partir du tout début du Principat. L'usage des exemplaires fractionnés de la valeur de l'*as* se perpétue jusqu'au milieu du I^{er} siècle. Est-ce par nécessité ou par habitude (les pièces étant très courantes dans la circulation)? La proportion de l'airain impérial semble croître à partir de l'horizon 6, ce qui tendrait à indiquer un usage par nécessité et donc la prolongation de l'opération de division des espèces du premier groupe dans la première moitié du I^{er} siècle au moins.

A Chavannes 11, les petits bronzes gaulois, au nombre de six, disparaissent au moment où le nombre des *quadrans* et *semis* julio-claudiens augmentent, soit dès les horizons 5 et 6 (10/20 à 40/50 et 40/50 à 70/80, 7 pièces). C'est aussi à ce moment-là qu'apparaissent les *as* coupés du groupe B. On peut donc conclure que ces bronzes gaulois parfois régionaux remplacent les émissions romaines fractionnaires insuffisantes.

Conclusion

Le fractionnement de l'airain pour obtenir des valeurs nominales équivalentes ou inférieures à l'*as* est très important dans le cas de notre site. A Avenches comme à Lausanne, on utilise

pour correspondre à la valeur de l'*as* au début du I^{er} siècle de notre ère des bronzes républicains plus anciens et plus lourds, car antérieurs à la réforme d'Auguste⁵⁴.

L'emploi de fractions inférieures à l'*as*, bronzes gaulois antérieurs à la période de carence de ces espèces (-20 à 40/50), puis d'*as* coupés et de petits bronzes de la réforme d'Auguste (I^{er}-II^e s. apr. J.-C.) émanant d'abord d'ateliers provinciaux, est bien attesté à Chavannes 11.

d) Monnaies d'argent et d'argent fourré (fig. 50 et 51)

On observe à Chavannes 11 un pourcentage peu élevé de monnaies d'argent: 8,37% de l'ensemble (17 sur 203).

Les monnaies fourrées de Chavannes 11 représentent 80% (4 sur 5) pour les monnaies gauloises, 71% (5 sur 7) pour la République et 66% (6 sur 9) pour l'Empire romain. Le pourcentage total des monnaies fourrées s'élève ainsi à 69% pour les frappes romaines seules et 71% si l'on intègre les autres catégories de monnayages.

L'analyse globale des trouvailles d'argent des sites civils et militaires du Plateau suisse et de Germanie montre que ce phénomène est très répandu: Avenches (56%), Rödgen (60%), Neuss (plus de 50%), Oberhausen (36%), Cologne (22%) ont fourni un nombre particulièrement élevé de monnaies fourrées. Ailleurs, les rapports sont nettement inférieurs: Magdalensberg (11%), Haltern (10%), Kempten (8%) et Mainz-Kastellgebiet (5%) pour les monnaies antérieures à Néron⁵⁵.

En raison du nombre élevé de ces monnaies fourrées⁵⁶, il nous paraît légitime de supposer que celles-ci étaient tolérées par les autorités. La fabrication de ce monnayage d'argent a peut-être entraîné une disparition progressive des espèces de bon aloi (loi de Gresham), par thésaurisation par exemple. Ce phénomène aurait ainsi prolongé la durée de circulation des monnaies frauduleuses⁵⁷. Les monnaies fourrées résiduelles observées à Chavannes 11, gauloises, républicaines et augustéennes, accréditent cette hypothèse.

L'examen des contextes de Chavannes 11 permet d'observer une présence différenciée de nos monnaies d'argent et d'argent fourré:

Horizon, état/valeur, nb (%: rapport au total)	Total	Groupe 1		Groupe 2		Ind. (1/2)	Fraction			Total coupées	Total fractions
	airain	RR	Nîmes	Lyon	Rome		Gaulle à	Néron			
		1/2 Dp./ entier	1/2 Dp./ entier	1/2 As/ entier	1/2 As/ entier			Bronze équiv. gaulois	quadrans		
H3 rembl. (-20 à -10/1)	8	2 sur 3	2 sur 4				1 sur 1			4	1
H4 occup. + rembl. (-10/1 à 20/30)	14	5 sur 5	3 sur 4			1	3 sur 4	1 sur 4		9	4
H5 occup. + démol. (10/20 à 40/50)	6			1 sur 3		1	1 sur 2	1 sur 2		2	2
H5 rembl. (10/20 à 40/50)	37	3 sur 4	10 sur 13	1 sur 7		2	1 sur 5	3 sur 5	1 sur 5	16	5
H6 rembl. + atel. (40/50 à 70/80)	35	7 sur 8	1 sur 4	1 sur 5	1 sur 6	3		1 sur 2	1 sur 2	13	2
H7 rembl. (50/60 à 90/100)	26	2 sur 2	1 sur 1	2 sur 8	0 sur 10	1		3 sur 4	1 sur 4	6	4
H8 occup. (70/80 à 100/110)	11		2 sur 2	1 sur 3		1				4	
H8 rembl. (50/60 à 100/110)	22			0 sur 3	0 sur 13			1 sur 1			1
H9 occup. (100/110 à 180/200)	7	1 sur 1			0 sur 3				3 sur 3	1	3
H9 rembl. (100/110 à 180/200)	6	1 sur 1			0 sur 5					1	
	172	21	19	6	1	9	6	10	6	56	22
		40		7		9		22		78	

Fig. 49. Airain républicain, Nîmes et Lyon, airain partagé et fractions (sans argent), toutes maisons confondues.

Horizon, état/valeur, nb (% : rapport au total)	Total monnaies	Total argent	Total fourrées	Gaule	RR	Auguste		Tibère à Vespasien		IIe à IIIe s.
						Lyon	Rome	Lyon	Rome	
H3 rembl. (-20 à -10/1)	9	1	1		1					
H4 rembl. (-10/1 à 20/30)	17	4	3	3	1					
H5 rembl. (10/20 à 40/50)	40	3	3	1	2					
H6 rembl. (40/50 à 70/80)	24	1	1			1				
H7 rembl. (50/60 à 90/100)	29	3	1		2				1	
H8 rembl. (50/60 à 100/110)	23	1	1		1					
H9 occup. (100/110 à 180/200)	8	1	1			1				
H10 occup. et rembl.	11	5	2					1	1	3

Fig. 50. Répartition des monnaies d'argent dans les horizons, toutes maisons confondues.

1. La période des horizons 3 à 5 (deux dernières décennies I^{er} s. av.-milieu I^{er} s. apr. J.-C.) regroupe des monnaies gauloises et républicaines généralement fourrées et essentiellement résiduelles, dont l'original en bon argent a toujours été frappé antérieurement à 27 av. J.-C.
2. La période des horizons 6 à 9 (milieu I^{er}-fin II^e s. apr. J.-C.) est constituée essentiellement de monnaies républicaines généralement fourrées et julio-claudiennes résiduelles (sauf un exemplaire d'Auguste en circulation tardive).
3. L'horizon 10 (fin II^e-milieu III^e s. apr. J.-C.) intègre la circulation de monnaies contemporaines de bon aloi et de monnaies julio-claudiennes (depuis Tibère) et flaviennes fourrées résiduelles.

Les monnaies gauloises résiduelles d'argent disparaissent donc à partir de l'horizon 5 (10/20 à 40/50)⁵⁸, les républicaines dès l'horizon 8 (70/80 à 100/110)⁵⁹. Un denier d'Auguste figure encore dans les niveaux d'occupation de l'horizon 9 (100/110 à 180/200)⁶⁰. Le premier exemplaire flavien, un Vespasien (69-71), apparaît à l'horizon 7 (50/60 à 70/80).

A Genève Saint-Gervais, un quinaire gaulois fourré est attesté dans des contextes datés de 0 à 50 de notre ère⁶¹. Il entre donc dans notre période 1. Aucune autre monnaie d'argent républicaine ou augustéenne n'est apparue à notre connaissance dans ce site. A Avenches En Chaplix, un quinaire républicain figure dans le groupe dont le dépôt est à situer entre env. 65 et 78/80 de notre ère⁶². Il entre donc dans notre période 2.

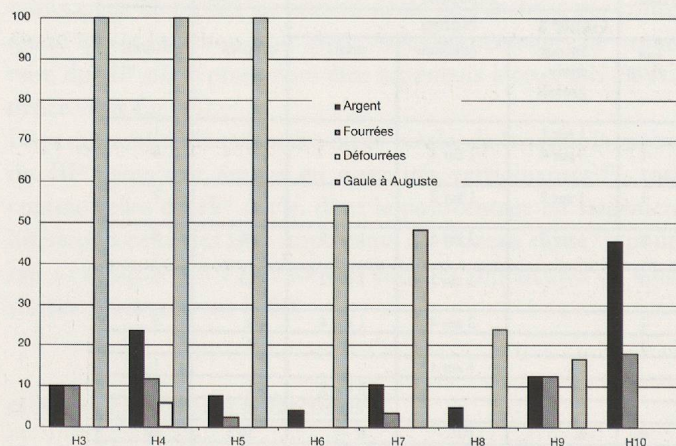


Fig. 51. Proportion des monnaies d'argent par horizons, toutes maisons confondues.

Conclusion

Dans les sites examinés et conformément au bronze, l'argent gaulois cesse de circuler dès le premier ou le deuxième quart du I^{er} siècle; l'argent républicain et augustéen, probablement entre la fin du I^{er} siècle et la réforme de Trajan⁶³. Celle-ci contribue à éliminer de manière plus ou moins définitive ces anciennes pièces puisque seule une d'entre elles subsiste encore dans un niveau plus récent d'occupation (pièce augustéenne en H9).

Dans les trésors, la présence parfois plus tardive mais peu importante de deniers républicains et julio-claudiens peut être expliquée par leur titre de bon aloi et leur poids plus élevé que celui de la réforme de Néron⁶⁴. D'où probablement la présence plus nombreuse de pièces fourrées antérieures à Néron sur nos sites: celles-ci ne faisant plus illusion auraient été abandonnées au lieu d'être thésaurisées.

Variétés et types inédits

Sur le plan numismatique, les fouilles de Chavannes 11 n'ont produit que deux spécimens dignes d'être spécialement signalés:

- Une frappe hybride de Vespasien associe un droit appartenant à la période 77-78 à un revers habituellement réservé aux émissions des années 75-76⁶⁵.
- Une des monnaies les plus curieuses est certainement un *as* coulé de Commode⁶⁶. Sa technique de fabrication indique qu'il s'agit d'une monnaie provenant d'un atelier local. Il est tentant de mettre la fabrication de ce type de monnaie en relation avec la pénurie d'espèces en bronze dont eurent à souffrir toutes les provinces situées à l'ouest des Alpes, plus particulièrement la Gaule, la Germanie et le Plateau suisse dès le règne de Septime Sévère⁶⁷. D'autres exemplaires de monnaies de cette catégorie ont été retrouvés en Suisse occidentale. On mentionnera un exemplaire dans le trésor supposé d'Allaman⁶⁸.

Catalogue⁶⁹ et planches (cat. 1215-1477)

A. Gaule

Gaule centrale, territoire présumé des *Pictones*, I^{er} siècle av. J.-C., drachme

LT 4484; SLM 185-187.

1215. VY89/6578-07. AR; 1.55 g; 15.5/12.5 mm; 160°. Ensemble: -10/1 à 10/20 (AH4).

1216. VS90/6880-01. AR; 1.49 g; 13.6/12.6 mm; 30°; fourré. Ensemble: -10/1 à 10/20 (BH4).

Gaule orientale, territoire présumé des *Sequani*, depuis c. 60. av. J.-C., bronze frappé
LT 5594.

1218. VS90/8049-01. AE; 2.30 g; 16.1/15.1 mm; 0°. Ensemble: -40 à -20 (BH2).

Valais, territoire présumé des *Veragri*, depuis 60 av. J.-C., drachme
LT 2155; Geiser 1984, Veragri, indéterminé.

1219. VS90/8081-01. AE; 2.48 g; 12.7/12.3 mm; 0°; drachme défourrée ou bronze frappé. Ensemble: -10/1 à 20/30 (DH4).

Allemagne du sud, I^{er} siècle av. J.-C., imitation du statère
SLM 1100-1101.

1220. VY89/5898-09. AE; 4.66 g; 18.4/16 mm; 0°; statère défourré ou bronze frappé. Ensemble: époque romaine.

Territoire indéterminé, I^{er} siècle av. J.-C., imitation de l'obole de Marseille

1221. VY89/5895-01. AE; 0.23 g; 9.3/8.3 mm; 0°; obole défourrée ou bronze frappé. Ensemble: 10/20 à 40/50 (AH5).

Indéterminée, gauloise, I^{er} siècle av. J.-C., bronze coulé

1222. VY90/6692-01. AE; 2.54 g; 18.6/17 mm; 0°. Ensemble: -10/1 à 10/20 (CH4).

1223. VY89/6539-03. AE; 1.76 g; 18.1/14.6 mm; 0°; fragmentaire. Ensemble: 10/20 à 40/50 (AH5).

Indéterminée, grecque ou gauloise, II^e-I^{er} siècle av. J.-C., petit bronze

1224. VS90/6847-01. AE; 3.12 g; 17/16.5 mm; 0°. Ensemble: -10/1 à 10/20 (BH4).

B. République et provinciales romaines

C. Ter Luc, Rome, 147 av. J.-C., as
RRC 217/2; Kestner 1989, 2062, 2063.

1225. VS90/8149-02. AE; 7.95 g; 31.4/16.9 mm; 60°; coupé en deux. Ensemble: époque romaine.

M. Sergi Silvs Q, Rome, 116 ou 115 av. J.-C., denier
RRC 286.

1226. VS90/8086-02. AE; 3.03 g; 18.8/18.2 mm; 180°; fourré. Ensemble: 90/100 à 100/110 (DH8).

P. Sabin Q, Rome, 99 av. J.-C., quinaire
RRC 331.

1227. VS90/8007-01. AR; 1.09 g; 12.9/12.1 mm; 290°; fourré. Ensemble: 10/20 à 40/50 (BH5).

Mn. Acilius III Vir, Rome, 49 av. J.-C., denier
RRC 442/1a-b.

1228. VY89/5783-01. AR; 2.11 g; 20.1/16.1 mm; 195°; fourré; fragmentaire. Ensemble: -10/1 à 10/20 (AH4).

M. Cato Propr, Afrique, 47-46 av. J.-C., quinaire
RRC 462/2.

1229. VS90/8085-01. AR; 1.5 g; 13.5/12.2 mm; 245°. Ensemble: 60/70 à 90/100 (DH7).

Magnus Pius Imp, Sicile, depuis 45 av. J.-C., as
RRC 479/1 (Espagne et Sicile); RPC 671 (Sicile).

1230. VY89/6511-01. AE; 17.51 g; 29.0/27.6 mm; 330°; traces de ciseau au droit. Ensemble: 10/20 à 40/50 (AH5).

P. Clodius M. F. IIII Vir A. P. F., Rome, 42 av. J.-C., denier
RRC 494/23.

1231. VY90/8111-01. AR; 2.74 g; 18.6/17.2 mm; 180°; fourré. Ensemble: 10/20 à 40/50 (CH5).

Caesar Divi F, Italie, c. 38 av. J.-C., dupondius
RRC 535.1; Amandry 1986, p. 23 (dupondius); RPC 620.

1232. VS90/8038-04. AE; 8.41 g; 28.0/27.5 mm; 180°; imitation. Ensemble: -20 à -10/1 (BH3).

1233. VY90/6754-02. AE; 3.9 g; 27.0/23.1 mm; 270°; fragmentaire. Ensemble: 10/20 à 40/50 (CH5).

RRC 535/2; Amandry 1986, p. 23 (dupondius); RPC 621.

1234. VS90/6830-01. AE; 10.55 g; 27.5/18.3 mm; ±230°; coupé en deux au tiers. Ensemble: 70/80 à 80/90 (BH7).

M. Ant. Augur III Vir R. P. C. Imp. Ter., atelier mobile, 37 av. J.-C., denier
RRC 536/4.

1235. VY89/6552-01. AR; 2.4 g; 18.8/17.9 mm; 20°; fourré. Ensemble: -20 à -10/1 (AH3).

Octave, Lyon, 38 ou 36 av. J.-C., dupondius
Amandry 1986, pp. 27-34; RPC 514 ou 515.

1236. VS90/8147-01. AE; 12.61 g; 32.0/17.8 mm; 360°; coupé en deux. Ensemble: 20/30 à 50/60 (DH5).

Octave, Vienne, depuis c. 36 av. J.-C., dupondius

Amandry 1986, pp. 27-34; RPC 517.

1237. VY90/6653-01. AE; 10.02 g; 28.8/16.9 mm; 360°; coupé en deux.
Ensemble: -10/1 à 10/20 (CH4).1238. VS90/8087-02. AE; 9.11 g; 27.7/15.6 mm; 330°; coupé en deux.
Ensemble: -20 à -10/1 (DH3).**Octave, Brindisi ou Rome?, c. 32-29 av. J.-C., denier**RIC I², 257.1239. VY89/5784-01. AR; 3.43 g; 21.4/19.1 mm; 270°.
Ensemble: 50/60? à 70/80 (AH7).**C. Indéterminés République ou provinciale romaine****République, Janus/Proue (Rome?), as**

RRC I 1974, indéterminé.

1240. VY90/6770-08. AE; 7.65 g; 27.3/25.2 mm; 0°.
Ensemble: -10/1 à 10/20 (CH4).1241. VY90/6696-02. AE; 16.28 g; 31.0/12.95 mm; 70°, coupé en deux.
Ensemble: -10/1 à 10/20 (CH4).1242. VS90/8002-03. AE; 11.92 g; 32.1/17.0 mm; 270°; coupé en deux.
Ensemble: 100/110 à 170/180? (BH9).1243. VY89/6502-01. AE; 7.4 g; 28.5/15.8 mm; 0°; coupé en deux.
Ensemble: 40/50 à 50/60? (AH6).1244. VY89/6557-01. AE; 5,71 g; 27.8/11.5 mm; 0°; coupé en deux.
Ensemble: époque romaine.**Indéterminé, 211-27 av. J.-C., dupondius ou as**

RRC I 1974, indéterminé.

1245. VS90/6838-01. AE; 18.98 g; 30.5/29.5 mm; 0°.
Ensemble: 40/50 à 70/80 (BH6).1246. VS90/6803-22. AE; 12.95 g; 31.7/18.4 mm; 0°; coupé en deux.
Ensemble: 40/50 à 70/80 (BH6).1247. VS90/6816-01. AE; 12.36 g; 30.4/16.4 mm; 0°; coupé en deux.
Ensemble: 70/80 à 80/90 (BH7).1248. VS90/6899-04. AE; 10.34 g; 31.0/17.5 mm; 0°; coupé en deux.
Ensemble: 40/50 à 70/80 (BH6).1249. VS90/6846-01. AE; 10.3 g; 29.7/15.9 mm; 0°; coupé en deux.
Ensemble: -10/1 à 10/20 (BH4).1250. VY90/6585-03. AE; 10.20 g; 27.3/13.8 mm; 0°; coupé en deux.
Ensemble: époque romaine.1251. VS90/6844-01. AE; 9.87 g; 27.5/14.7 mm; 0°; coupé en deux.
Ensemble: 40/50 à 70/80 (BH6).1252. VS90/8042-01. AE; 9.57 g; 30.4/17.1 mm; 0°; coupé en deux.
Ensemble: 100/110? à 170/180? (DH9).1253. VY90/6585-06. AE; 9.44 g; 29.8/13.1 mm; 0°; coupé en deux.
Ensemble: époque romaine.1254. VS90/6803-30. AE; 9.04 g; 28.3/14.3 mm; 0°; coupé en deux.
Ensemble: 40/50 à 70/80 (BH6).1255. VY89/6578-6. AE; 8.65 g; 29.5/15.6 mm; 0°; coupé en deux.
Ensemble: -10/1 à 10/20 (AH4).1256. VS90/6803-12. AE; 8.6 g; 30.1/15.1 mm; 0°; coupé en deux.
Ensemble: 40/50 à 70/80 (BH6).1257. VS90/8130-01. AE; 8.08 g; 32.3/16.2 mm; 0°; coupé en deux.
Ensemble: 1^{re} moitié I^{er} s. apr. J.-C.1258. VS90/6803-28. AE; 8.06 g; 30.0/14.6 mm; 0°; coupé en deux.
Ensemble: 40/50 à 70/80 (BH6).1259. VY90/6689-03. AE; 7.7 g; 28.8/14.6 mm; 270°; coupé en deux.
Ensemble: 10/20 à 40/50 (CH5).1260. VS90/8087-01. AE; 7.04 g; 28.2/14.4 mm; 0°; coupé en deux.
Ensemble: -20 à -10/1 (DH3).1261. VS90/6889-02. AE; 7.03 g; 29.2/14.8 mm; 0°; coupé en deux.
Ensemble: I^{er} s. apr. J.-C.**D. Gallo-romaines****Gaule Belgique, territoire présumé des *Aduatuci*, c. 15/10 av. J.-C., petit bronze**

LT 8868; Scheers 1977, traité, 182.217.

1262. VS90/8126-04. AE; 2.78 g; 13.7/15 mm; 0°.
Ensemble: 20/30 à 50/60 (DH5).**Gaule Belgique, territoire présumé des *Treviri?*, c. 10 av. J.-C., petit bronze**LT 9248; RIC I², 249; RPC 506.1263. VS90/6828-01. AE; 2.64 g; 18.3/16.9 mm; 90°.
Ensemble: 10/20 à 40/50 (BH5).1264. VY89/6511-06. AE; 2.48 g; 16.4/19.5 mm; 45°.
Ensemble: 10/20 à 40/50 (AH5).1265. VY90/6650-01. AE; 1.64 g; 15/16.4 mm; 0°.
Ensemble: 60/70 à 70/80 (CH7).1266. VS90/8058-03. AE; 1.30 g; 17.9/15.0 mm; 100°; coupé au tiers.
Ensemble: 10/20 à 40/50 (BH5).**E. Empire romain****Auguste, Nîmes, c. 20-10 av. J.-C. ou c. 16/15?-10 av. J.-C., dupondius****série IIa: c. 20-10 av. J.-C.**RIC I², 155 (as?); Amandry 1986, pp. 27-34 (dupondius); RPC 523.1267. Y90/06754-01. AE; 12.40 g; 25.6/24.7 mm; 170°.
Ensemble: 10/20 à 40/50 (CH5).1268. VY90/6705-02. AE; 10.73 g; 24.6/23.1 mm; 180°.
Ensemble: -20 à -10/1 (CH3).

1269. VY90/6639-01. AE; 10.41 g; 25.9/25.1 mm; 90°.
Ensemble: 40/50 à 60/70 (CH6).

1270. VY90/8111-02. AE; 9.19 g; 26.8/25.4 mm; 210°.
Ensemble: 10/20 à 40/50 (CH5).

1271. VS90/8022-01. AE; 9.19 g; 25.3/24.4 mm; 50°.
Ensemble: -10/1 à 10/20 (BH4).

1272. VY90/6723-01. AE; 9.08 g; 26.7/18.9 mm; 135°; coupé en deux.
Ensemble: 10/20 à 40/50 (CH5).

1273. VS90/8138-01. AE; 9.950 g; 29.1/17.20 mm; 130°; coupé en deux, avec bélière?
Ensemble: -25/-20 à 20/25.

RIC I², 156 (as?); Amandry 1986, pp. 27-34 (dupondius); RPC 523.

1274. VY90/6666-01. AE; 13.79 g; 26.2/25.3 mm; 220°.
Ensemble: 10/20 à 40/50.

1275. VS90/8007-04. AE; 3.99 g; 22.9/11.6 mm; 250°; coupé en deux.
Ensemble: 10/20 à 40/50 (BH5).

RIC I², 155-157; Amandry 1986, pp. 27-34; RPC 523.

1276. VS90/8152-01. AE; 7.38 g; 23.6/22.2 mm; 165°; imitation.
Ensemble: -20 à -10/1 (DH3).

1277. VY89/6511-02. AE; 3.66 g; 23.4/11.9 mm; 110°; coupé en deux; imitation?
Ensemble: 10/20 à 40/50 (AH5).

1278. VS90/8038-03. AE; 7.67 g; 26.7/13.6 mm; 130°; coupé en deux.
Ensemble: -20 à -10/1 (BH3).

1279. VY89/6521-01. AE; 6.60 g; 26.1/14.9 mm; 120°; coupé en deux.
Ensemble: 50/60? à 70/80 (AH7).

1280. VS90/8038-01. AE; 4.97 g; 24.6/11.8 mm; 90°; coupé en deux.
Ensemble: -20 à -10/1 (BH3).

1281. VS90/8141-03. AE; 3.93 g; 24.6/13.7 mm; 300°; coupé en deux.
Ensemble: époque romaine.

série IIb: c. 10 av.-10 apr. J.-C. ou c. 9/8-3 av. J.-C., dupondius
RIC I², 158 (as?); Amandry 1986, pp. 27-34 (dupondius); RPC 524.

1282. VS90/8005-04. AE; 4.74 g; 26.0/12.6 mm; 330°; coupé en deux.
Ensemble: 40/50 à 70/80 (BH6).

1283. VY89/5895-04. AE; 4.00 g; 25.7/13.6 mm; 210°; coupé en deux.
Ensemble: 10/20 à 40/50 (AH5).

série III: c. 10-14 apr. J.-C., dupondius
RIC I², 161 (as?); Amandry 1986, pp. 27-34 (dupondius); RPC 525.

1284. VY89/6626-01. AE; 6.64 g; 28.1/14.9 mm; 330°; coupé en deux.
Ensemble: I^{er}-III^e s. apr. J.-C.

série II ou III: 20 av.-14 apr. J.-C. ou c. 16/15 av.-14 apr. J.-C., dupondius
RIC I², 155-161 (as?); Amandry 1986, pp. 27-34 (dupondius); RPC 523-525.

1285. VS90/8006-03. AE; 10.62 g; 25.8/24.7 mm; 210°.
Ensemble: 40/50 à 70/80 (BH6).

1286. VY90/6689-02. AE; 7.51 g; 24.5/22.6 mm; 360°.
Ensemble: 10/20 à 40/50 (CH5).

1287. VS90/6760-10. AE; 7.21 g; 26.3/14.7 mm; 0°; coupé en deux.
Ensemble: 80/90 à 100/110 (BH8).

1288. VS90/8058-01. AE; 6.84 g; 26.2/15.1 mm; 240°; coupé en deux.
Ensemble: 10/20 à 40/50 (BH5).

1289. VY89/6538-06. AE; 6.56 g; 27.2/14.7 mm; 360°; coupé en deux.
Ensemble: 70/80 à 100/110 (AH8).

1290. VS90/8015-01. AE; 5.91 g; 26.0/13.4 mm; 180°; coupé en deux.
Ensemble: -10/1 à 10/20.

1291. VS90/8007-03. AE; 5.84 g; 25.1/13.2 mm; 0°; coupé en deux.
Ensemble: 10/20 à 40/50 (BH5).

1292. VY90/6648-02. AE; 5.60 g; 25.6/12.1 mm; 360°; coupé en deux.
Ensemble: 10/20 à 40/50 (CH5).

1293. VS90/8022-02. AE; 4.04 g; 22.8/11.9 mm; 165°; coupé en deux.
Ensemble: -10/1 à 10/20 (BH4).

1294. VS90/8149-01. AE; 3.87 g; 22.6/10.7 mm; 360°; coupé en deux.
Ensemble: LT D2 tardive à -25/-20.

1295. VY89/6534-01. AE; 3.77 g; 23.3/11.3 mm; 90°; coupé en deux.
Ensemble: -10/1 à 10/20 (AH4).

1296. VY90/6607-01. AE; 3.36 g; 23.4/12.2 mm; 20°; coupé en deux.
Ensemble: 10/20 à 40/50.

1297. VS90/8022-03. AE; 2.87 g; 23.5/11.9 mm; 30°; coupé en deux.
Ensemble: -10/1 à 10/20 (BH4).

1298. VY89/6511-10. AE; 2.85 g; 19.8/11.2 mm; 160°; coupé en deux; imitation.
Ensemble: 10/20 à 40/50 (AH5).

1299. VY89/5895-03. AE; 2.77 g; 22.2/11.1 mm; 360°; coupé en deux.
Ensemble: 10/20 à 40/50 (AH5).

1300. VS90/8128-01. AE; 2.85 g; 19.7/12.4 mm; 240°; coupé en quatre.
Ensemble: 20/30 à 50/60 (DH5).

Auguste, Lyon, 15-10 av. J.-C., denier
RIC I², 167b. ou 187b.

1301. VY89/5602-01. AR; 1.44 g; 19.1/17.0 mm; 90°; défouuré.
Ensemble: 100/110 à 180/200 (AH9).

Auguste pour Tibère, Lyon, 13-14, denierRIC I², 222; Giard, Lyon, 92.1302. VS90/8005-03. AR; 2.84 g; 17.7/17.1 mm; 260°; fourré.
Ensemble: 40/50 à 70/80 (BH6).**Auguste, Lyon, 15-10 av. J.-C., quadrans**RIC I², 227.1303. VY89/6511-09. AE; 2.90 g; 18.8/18.2 mm; 130°.
Ensemble: 10/20 à 40/50 (AH5).1304. VY89/6567-01. AE; 2.40 g; 18.9/17.7 mm; 360°.
Ensemble: fin I^{er}-III^e s. apr. J.-C.1305. VS90/8142-01. AE; 2.28 g; 18.4/17.9 mm; 360°.
Ensemble: -10/1 à 20/30 (DH4).1306. VS90/6886-01. AE; 2.19 g; 17.1/16.7 mm; 60°.
Ensemble: époque romaine.1307. VY89/5898-08. AE; 2.04 g; 18.1/17.3 mm; 90°.
Ensemble: époque romaine.1308. VY89/5898-02. AE; 1.75 g; 18.4/17.4 mm; 310°.
Ensemble: époque romaine.**Auguste, Lyon****série I: 15-10 ou 7-3 av. J.-C., as**RIC I², 230, (15-10 av. J.-C.); Van Heesch 1993, pp. 535-538, (c. 7-
c. 3 av. J.-C.).1309. VS90/6828-02. AE; 10.85 g; 26.2/24.4 mm; 230°.
Ensemble: 10/20 à 40/50 (BH5).1310. VS90/8058-02. AE; 9.88 g; 26.2/24.3 mm; 180°.
Ensemble: 10/20 à 40/50 (BH5).1311. VY89/5640-03. AE; 9.62 g; 26.4/23.9 mm; 30°.
Ensemble: 50/60? à 70/80 (AH7).1312. VY90/6726-01. AE; 9.45 g; 27.1/26.0 mm; 50°.
Ensemble: 10/20 à 40/50 (CH5).1313. VY90/6643-01. AE; 9.32 g; 27.5/25.6 mm; 45°.
Ensemble: 60/70 à 70/80 (CH7).1314. VS90/8107-01. AE; 7.92 g; 27.2/25.3 mm; 40°.
Ensemble: époque romaine.1315. VS90/8026-06. AE; 7.73 g; 26.8/25.9 mm; 330°.
Ensemble: 60/70 à 90/100 (DH7).1316. VS90/8115-01. AE; 7.68 g; 26.3/25.3 mm; 290°.
Ensemble: 20/30 à 50/60 (DH5).1317. VY90/6748-02. AE; 4.88 g; 27.1/26.3 mm; 30°; revers tréflé?
Ensemble: 40/50 à 60/70 (CH6).1318. VS90/8113-01. AE; 3.65 g; 23.3/21.0 mm; 330°; imitation.
Ensemble: époque romaine.1319. VS90/8117-01. AE; 4.15 g; 26.2/14.0 mm; 160°; coupé en
deux.
Ensemble: 20/30 à 50/60 (DH5).1320. VS90/8007-05. AE; 3.99 g; 24.2/12.2 mm; 90°; coupé en deux.
Ensemble: 10/20 à 40/50 (BH5).1321. VY89/5890-02. AE; 3.83 g; 25.3/14.3 mm; 240°; coupé en
deux.
Ensemble: 70/80 à 100/110 (AH8).1322. VY89/5698-01. AE; 3.74 g; 23.2/12.9 mm; 0°; coupé en deux.
Ensemble: 50/60? à 70/80 (AH7).**série II: 8-14, as**RIC I², 233 (8-14); Giard, Lyon, 97 (10-14).1323. VS90/8010-02. AE; 10.11 g; 27.5/25.5 mm; 260°.
Ensemble: époque romaine.**série II: 8-14, semis**RIC I², 234 (8-14); Giard, Lyon, 98 (10-14).1324. VY90/6751-01. AE; 4.69 g; 18.9/18.2 mm; 130°.
Ensemble: 60/70 à 70/80.**série I ou II: c. 15 av. J.-C.-14 apr. J.-C. ou 7 av.-14 apr. J.-C., as**
RIC I², 233 (15 av.-14 apr. J.-C.); Giard, Lyon, 97 (10 av.-14 apr. J.-
C.); Van Heesch 1993, pp. 535-538 (c. 7 av.-14 apr. J.-C.).1325. VS90/6893-02. AE; 8.48 g; 24.4/22.2 mm; 350°.
Ensemble: 10/20 à 40/50 (BH5).**Auguste pour Tibère, Lyon****série II: 12-14, as**RIC I², 245 (12-14); Giard, Lyon, 114/7a (13-14).1326. VS90/6859-07. AE; 8.75 g; 24.4/22.6 mm; 330°.
Ensemble: 10/20 à 40/50 (BH5).**série II: 10-14., as**RIC I², 233-245 (8-14).1327. VS90/6825-02. AE; 10.8 g; 24.4/23.0 mm; 270°.
Ensemble: I^{er}-III^e s. apr. J.-C.1328. VS90/8008-01. AE; 10.57 g; 26.0/24.7 mm; 30°.
Ensemble: 10/20 à 40/50 (BH5).1329. VS90/6823-01. AE; 10.09 g; 26.2/24.9 mm; 150°; graffiti à
l'av.

Ensemble: époque romaine.

1330. VS90/6817-01. AE; 9.83 g; 25.4/24.0 mm; 45°.
Ensemble: 40/50 à 70/80 (BH6).1331. VS90/6859-01. AE; 8.97 g; 25.0/23.9 mm; 0°.
Ensemble: 10/20 à 40/50 (BH5).1332. VS90/8051-01. AE; 8.74 g; 24.2/22.2 mm; 360°.
Ensemble: fin I^{er}-III^e s. apr. J.-C.1333. VS90/6833-02. AE; 7.52 g; 24.3/22.8 mm; 340°.
Ensemble: 40/50 à 70/80 (BH6).1334. VY89/6558-02. AE; 4.76 g; 22.2/21.4 mm; 170°.
Ensemble: 70/80 à 100/110 (AH8).1335. VS90/6789-01. AE; 3.32 g; 22.1/11.5 mm; 210°; coupé en deux.
Ensemble: 80/90 à 100/110 (BH8).

série II: 10, semis

RIC I², 239 (8-10); Giard, Lyon, 102 (10).

1336. VY89/5898-04. AE; 3.19 g; 21.7/20.2 mm; 250°; percé; imitation.

Ensemble: époque romaine.

série II: 11, semis

RIC I², 243.

1337. VY89/5715-01. AE; 2.63 g; 18.1/18.0 mm; 220°.

Ensemble: 50/60? à 70/80 (AH7).

série II: 13-14, semis

RIC I², 246 (12-14); Giard, Lyon, 115/2a (13-14).

1338. VY89/6505-01. AE; 3.86 g; 19.1/17.6 mm; 140°.

Ensemble: 10/20 à 40/50 (AH5).

1339. VY90/6583-04. AE; 3.17 g; 18.0/16.9 mm; 220°.

Ensemble: époque romaine.

série I ou II: c. 7 av.-14 apr. J.-C., as

RIC I², pp. 57-58; Van Heesch 1993, pp. 535-538 (c. 7 av.-14 apr. J.-C.).

1340. VY90/6706-01. AE; 9.91 g; 24.2/22.2 mm; 0°.

Ensemble: 70/80 à 100/110? (CH8).

1341. VS90/6867-01. AE; 5.89 g; 24.3/23.1 mm; 90°.

Ensemble: 70/80 à 80/90 (BH7).

1342. VS90/6794-02. AE; 4.38 g; 23.0/22.0 mm; 330°; imitation?

Ensemble: 80/90 à 100/110 (BH8).

1343. VY90/6749-01. AE; 4.94 g; 23.6/12.9 mm; 0°; coupé en deux.

Ensemble: 60/70 à 70/80 (CH7).

1344. VS90/6813-01. AE; 2.83 g; 21.8/10.6 mm; 0°; coupé en deux.

Ensemble: 40/50 à 70/80 (BH6).

1345. VS90/8047-03. AE; 4.29 g; 27.1/14.6 mm; 340°; coupé en deux.

Ensemble: milieu I^{er}-III^e s. apr. J.-C.

Auguste par T. Quinctius Crispinus Sulpicianus, Rome, 18 av. J.-C., dupondius

Kraft 1955/56, p. 96 (série Ia); RIC I², 332 (série II).

1346. VY89/5895-02. AE; 8.2 g; 26.5/25.2 mm; 315°.

Ensemble: 10/20 à 40/50 (AH5).

Auguste par C. Asinius Gallus, Rome, 16 av. J.-C., as

Kraft 1955/56, p. 96 (série IIa); RIC I², 373 (série V); Giard, B.N., p. 99, n. 388.

1347. VY90/6850-01. AE; 5.59 g; 25.5/23.8 mm; 180°; imitation.

Ensemble: -20 à -10/1 (CH3).

Auguste par Cn. Piso Cn.F., Rome, 15 av. J.-C., as

Kraft 1955/56, p. 96 (série IIb); RIC I², 382 (série VI).

1348. VY89/5882-02. AE; 9.81 g; 26.3/25.8 mm; 30°.

Ensemble: 40/50 à 50/60? (AH6).

Auguste par Lamia, Silius, Annus, Rome, 9 av. J.-C., quadrans

Kraft 1955/56, p. 97 (série III); RIC I², 420 (série IX).

1349. VS90/6775-01. AE; 2.43 g; 16.2/15.4 mm; 180°.

Ensemble: 70/80 à 80/90 (BH7).

Auguste par M. Salvius Otho, Rome, 7 av. J.-C., as

Kraft 1955/56, p. 97 (série IVb); RIC I², 432 (série XI).

1350. VY90/6713-03. AE; 10.08 g; 26.7/25.0 mm; 180°.

Ensemble: fin 1^{er}-3^e s. apr. J.-C.

Auguste par A. Licinius Nerva Silianus, Rome, 6 av. J.-C., as

Kraft 1955/56, p. 97 (série IVa); RIC I², 437 (série XII).

1351. VY90/6719-01. AE; 10.5 g; 25.5/24.6 mm; 90°.

Ensemble: 10/20 à 40/50 (CH5).

Auguste par monétaire indéterminé, Rome, 7-6 av. J.-C., as

1352. VS90/8018-01. AE; 6.96 g; 26.6/25.5 mm; 0°.

Ensemble: 10/20 à 40/50 (BH5).

Auguste par monétaire indéterminé, Rome, 16-6 av. J.-C., as

RIC I², 373-442.

1353. VS90/8141-02. AE; 8.47 g; 26.6/25.9 mm; 180°.

Ensemble: époque romaine.

1354. VS90/8135-01. AE; 3.68 g; 26,1/14.4 mm; 110°; coupé en deux.

Ensemble: I^{er}-III^e s. apr. J.-C.

Auguste par V. Valérius Messala, Rome, 5 av. J.-C., quadrans

Kraft 1955/56, p. 97 (série V); RIC I², 457v.

légendes de l'av. et du rv. inversées (série XIII).

1355. VS90/08063-01. AE; 2.32 g; 16.5/15.5 mm; 360°.

Ensemble: 90/100 à 100/110? (DH8).

Auguste, Rome, 11-12, as

RIC I², 471.

1356. VS90/8006-02. AE; 4.60 g; 27.6/16.0 mm; 180°; coupé en deux.

Ensemble: 40/50 à 70/80 (BH6).

Tibère, Lyon, 14-37, denier

RIC I², 28; Giard, Lyon, 146 ou 148.

1357. VS90/8046-08. AR; 2.31 g; 18.1/16.2 mm; 195°; fourré.

Ensemble: 170/180? à 250? (DH10).

Tibère, Rome, 15-16, as

RIC I², 37.

1358. VY89/5862-01. AE; 4.67 g; 29.0/14.4 mm; 140°; coupé en deux.

Ensemble: 40/50 à 50/60?

Tibère, Rome, 34-36, as

RIC I², 53 ou 59.

1359. VS90/6894-01. AE; 9.86 g; 24.8/24.2mm; 130°.

Ensemble: fin 1^{er}-3^e s. apr. J.-C.

1360. VS90/8045-01. AE; 8.61 g; 26.1/25.1 mm; 180°.

Ensemble: fin I^{er}-III^e s. apr. J.-C.

Tibère, Rome, 34-37, asRIC I², 53, 59 ou 65.

1361. VS90/6860-01. AE; 8.97 g; 27.2/25.3 mm; 30°.

Ensemble: 80/90 à 100/110 (BH8).

Tibère pour Auguste divinisé, Rome, c. 15-16, asRIC I², 72.

1362. VS90/6806-05. AE; 8.8 g; 27.5/25.2 mm; 190°.

Ensemble: 40/50 à 70/80 (BH6).

Tibère pour Auguste divinisé, Rome, c. 22/23-30, asRIC I², 81.

1363. VS90/8026-03. AE; 9.96 g; 29.6/28.8 mm; 200°.

Ensemble: 60/70 à 90/100 (DH7).

1364. VY89/5871-01. AE; 9.55 g; 27.0/24.8 mm; 60°.

Ensemble: 50/60? à 70/80 (AH7).

1365. VS90/6881-01. AE; 8.56 g; 28.8/25.7 mm; 180°.

Ensemble: 40/50 à 70/80 (BH6).

1366. VY89/6550-02. AE; 8.48 g; 24.7/24.2 mm; 60°.

Ensemble: 70/80 à 100/110 (AH8).

1367. VY90/6713-02. AE; 8.02 g; 27.1/26.0 mm; 200°.

Ensemble: fin I^{er}-III^e s. apr. J.-C.

1368. VS90/6805-01. AE; 7.93 g; 25.7/23.5 mm; 150°.

Ensemble: 70/80 à 80/90 (BH7).

1369. VY89/5612-22. AE; 7.61 g; 25.4/25.2 mm; 130°; imitation?

Ensemble: époque romaine.

1370. VS90/6760-03. AE; 6.53 g; 29.8/24.9 mm; 160°.

Ensemble: 80/90 à 100/110 (BH8).

1371. VS90/6787-01. AE; 6.45 g; 27.6/25.4 mm; 0°.

Ensemble: 70/80 à 80/90 (BH7).

1372. VY89/5898-01. AE; 6.08 g; 25.6/24.5 mm; 160°.

Ensemble: époque romaine.

1373. VS90/6899-03. AE; 5.87 g; 26.2/24.0 mm; 60°.

Ensemble: 40/50 à 70/80 (BH6).

1374. VY89/5782-07. AE; 4.22 g; 24.2/22.1 mm; 0°; imitation?

Ensemble: milieu I^{er}-III^e s. apr. J.-C.

1375. VY89/5612-06. AE; 3.6 g; 26.4/25.0 mm; 300°; imitation?

Ensemble: époque romaine.

Tibère pour Auguste divinisé, Rome, c. 22/23-30, asRIC I², 80 ou 81.

1376. VY89/5776-04. AE; 3.22 g; 27.4/13.9 mm; 210°; coupé en deux.

Ensemble: 40/50 à 50/60? (AH6).

Indéterminé Tibère pour Auguste divinisé, Rome, c. 15-37, asRIC I², 70-83.

1377. VS90/6895-03. AE; 8.21 g; 28.6/27.1 mm; 0°.

Ensemble: époque romaine.

1378. VS90/6803-21. AE; 7.50 g; 27.5/26.2 mm; 0°.

Ensemble: 40/50 à 70/80 (BH6).

1379. VS90/6786-05. AE; 5.52 g; 25.3/24.4 mm; 0°.

Ensemble: 70/80 à 80/90 (BH7).

1380. VS90/6869-01. AE; 4.70 g; 26.6/12.4 mm; 0°; coupé en deux.

Ensemble: 40/50 à 70/80 (BH6).

1381. VS90/6803-06. AE; 3.69 g; 25.2/12.1 mm; 15°; coupé en deux.

Ensemble: 40/50 à 70/80 (BH6).

Indéterminé (Auguste pour Tibère ou Tibère), Rome ou Lyon, 8-37, dupondius ou asRIC I², indéterminé.

1382. VS90/6766-02. AE; 10.82 g; 26.5/25.7 mm; 30°.

Ensemble: 80/90 à 100/110 (BH8).

Caligula pour Auguste divinisé, Rome, 37-41, dupondiusRIC I², 56.

1383. VS90/8066-01. AE; 11.65 g; 28.2/27.2 mm; 220°.

Ensemble: 90/100 à 100/110? (DH8).

Caligula pour Agrippa, Rome, 37-41, asRIC I², 58.

1384. VY90/6715-01. AE; 10.42 g; 28.0/27.3 mm; 190°.

Ensemble: 10/20 à 40/50 (CH5).

1385. VY89/5602-02. AE; 10.05 g; 29.4/27.9 mm; 210°.

Ensemble: 100/110 à 180/200 (AH9).

1386. VS90/6867-05. AE; 9.06 g; 26.8/26.1 mm; 210°.

Ensemble: 70/80 à 80/90 (BH7).

1387. VY89/5645-04. AE; 8.91 g; 26.7/24.6 mm; 180°.

Ensemble: 100/110 à 180/200 (AH9).

1388. VY89/5620-01. AE; 7.98 g; 29.3/26.5 mm; 220°; imitation?

Ensemble: 70/80 à 100/110.

1389. VS90/6889-01. AE; 7.16 g; 26.6/25.4 mm; 195°.

Ensemble: I^{er} s. apr. J.-C.**Caligula, Rome, 39-40, as**RIC I², 47.

1390. VY90/6702-03. AE; 8.55 g; 28.7/28.2 mm; 210°.

Ensemble: 60/70 à 70/80 (CH7).

Caligula pour Germanicus César, Rome, 39-41, dupondiusRIC I², 57.

1391. VS90/6731-01. AE; 12.09 g; 27.7/26.5 mm; 170°.

Ensemble: époque romaine.

Claude, Rome, 42, quadransRIC I², 88.

1392. VS90/6812-04. AE; 3.32 g; 18.5/17.7 mm; 180°.

Ensemble: 40/50 à 70/80 (BH6).

Claude, Rome, c. 41-50?+, asRIC I², 127.

1393. VY90/6648-03. AE; 9.99 g; 27.3/26.9 mm; 170°. Ensemble: 10/20 à 40/50 (CH5).

Claude, Rome, c. 41-50?+, as
RIC I², 100.

1394. VS90/6816-02. AE; 8.63 g; 25.4/24.9 mm; 360°. Ensemble: 70/80 à 80/90 (BH7).

1395. VS90/6760-09. AE; 5.13 g; 25.0/24.0 mm; 240°. Ensemble: 80/90 à 100/110 (BH8).

Claude pour Germanicus, Rome, c. 50-54, as
RIC I², 106.

1396. VS90/6860-02. AE; 11.59 g; 29.5/28.3 mm; 180°. Ensemble: 80/90 à 100/110 (BH8).

Claude, Rome, c. 41-54, as
RIC I², 95 ou 111.

1397. VS90/6899-13. AE; 9.97 g; 27.7/25.9 mm; 30°. Ensemble: 40/50 à 70/80 (BH6).

Indéterminé, I^{er} moitié du I^{er} siècle apr. J.-C., as
RIC I², indéterminé.

1398. VS90/6783-02. AE; 6.80 g; 26.6/24.7 mm; 0°; contremarqué. Ensemble: époque romaine.

1399. VS90/8084-05. AE; 6.75 g; 26.2/25.3 mm; 0°. Ensemble: 90/100 à 100/110? (DH8).

1400. VY89/6558-01. AE; 5.01 g; 27.5/24.6 mm; 0°. Ensemble: 70/80 à 100/110 (AH8).

1401. VS90/8081-02. AE; 3.72 g; 25.0/20.6 mm; 0°. Ensemble: -10/1 à 20/30 (DH4).

1402. VS90/8010-01. AE; 4.84 g; 25.4/13.6 mm; 0°; coupé en deux; contremarqué. Ensemble: époque romaine.

1403. VS90/6884-02. AE; 4.7 g; 26.9/13.6 mm; 0°; coupé en deux. Ensemble: 10/20 à 40/50 (BH5).

1404. VS90/6893-01. AE; 4.57 g; 23.9/13.5 mm; 0°; coupé en deux. Ensemble: 10/20 à 40/50 (BH5).

1405. VS90/8041-01. AE; 4.36 g; 25.6/12.7 mm; 0°; coupé en deux; contremarque indét. Ensemble: 40/50 à 70/80 (BH6).

1406. VY89/5776-02. AE; 4.2 g; 25.1/12.7 mm; 0°; coupé en deux. Ensemble: 40/50 à 50/60? (AH6).

1407. VY90/6713-01. AE; 3.92 g; 25.5/12.5 mm; 0°; coupé en deux. Ensemble: fin I^{er}-III^e s. apr. J.-C.

1408. VS90/6821-02. AE; 3.66 g; 23.2/11.5 mm; 0°; coupé en deux. Ensemble: 40/50 à 70/80 (BH6).

1409. VS90/8122-01. AE; 3.17 g; 26.8/12.4 mm; 0°; coupé en deux. Ensemble: -10/1 à 20/30 (DH4).

1410. VY89/5879-01. AE; 3.09 g; 27.7/13.7 mm; 0°; coupé en deux. Ensemble: I^{er}-III^e s. apr. J.-C.

1411. VY89/6511-08. AE; 2.14 g; 23.2/11.7 mm; coupé en deux. Ensemble: 10/20 à 40/50 (AH5).

Néron, Rome, c. 64-65, denier
RIC I², 53.

1412. VS90/8046-09. AR; 2.61 g; 19.4/18.2 mm; 180°; fourré. Ensemble: 170/180? à 250? (DH10).

Néron, Rome (3^e ou 5^e émission), c. 64 ou c. 66, dupondius
RIC I², 202, 204 ou 346.

1413. VS90/6806-03. AE; 8.95 g; 26.7/25.3 mm; 180°. Ensemble: 40/50 à 70/80 (BH6).

Néron, Lyon (3^e émission), c. 65, sesterce
RIC I², 442.

1414. VS90/6842-01. AE; 22.11 g; 35.6/34.3 mm; 170°. Ensemble: 70/80 à 80/90 (BH7).

Néron, Lyon (3^e émission), c. 65, semis
RIC I², 480 ou 483.

1415. VY90/6680-01. AE; 3.73 g; 20.3/19.1 mm; 180°. Ensemble: 100/110? à 180/200 (CH9).

Néron, Lyon (2^e ou 3^e émission), c. 65, semis
RIC I², 424, 479, 481, 482, 484, 549, 550, 552, 553 ou 554.

1416. VS90/6876-02. AE; 3.53 g; 21.3/19.9 mm; 180°. Ensemble: 40/50 à 70/80 (BH6).

Néron, Lyon (2^e, 3^e ou 4^e émission), c. 65 ou c. 66, semis
RIC I², 428, 487, 561 ou 563.

1417. VY90/6668-05. AE; 5.64 g; 21.2/20.4 mm; 190°. Ensemble: 100/110? à 180/200 (CH9).

Néron, Lyon (5^e émission), c. 67, dupondius
RIC I², 596 ou 598.

1418. VS90/6760-02. AE; 12.84 g; 29.1/27.9 mm; 230°. Ensemble: 80/90 à 100/110 (BH8).

Néron, Rome ou Lyon, c. 62-68, semis
RIC I², indéterminé.

1419. VY90/6668-06. AE; 3.90 g; 20.5/19.4 mm; 0°. Ensemble: 100/110? à 180/200 (CH9).

Indéterminé (Caligula-Néron), Rome ou Lyon, 37-68, as
RIC I², indéterminé.

1420. VS90/8095-02. AE; 3.09 g; 27.0/9.2 mm; 0°; coupé en deux. Ensemble: 60/70 à 90/100 (DH7).

Vespasien, Rome, 69-71, denier
RIC II, 5.

1421. VS90/6842-02. AR; 2.25 g; 18.6/16.3 mm; 180°; fourré. Ensemble: 70/80 à 80/90 (BH7).

Vespasien, Rome, 71, dupondius
RIC II, 475.

1422. VY89/5785-01. AE; 10.58 g; 27.5/26.5 mm; 210°. Ensemble: 50/60? à 70/80 (AH7).

Vespasien, Rome, 75, dupondius
RIC II, 567.

1423. VS90/6764-02. AE; 8.5 g; 25.6/24.4 mm; 180°. Ensemble: 80/90 à 100/110 (BH8).

Vespasien, Rome, 75-78, dupondius
RIC II, 567, 578 ou 594.

1424. VS90/6786-01. AE; 10.99 g; 26.4/25.8 mm; 165°. Ensemble: 70/80 à 80/90 (BH7).

Vespasien, Rome, 77-78, as
Hybride: (av.) Cohen I, 250; (rv.) Cohen I, 240-248; RIC II, 580b.

1425. VS90/6790-01. AE; 10.08 g; 26.6/25.7 mm; 180°. Ensemble: 80/90 à 100/110 (BH8).

Vespasien, Rome, 77-78, as
RIC II, 600.

1426. VS90/8046-01. AE; 7.81 g; 26.7/25.9 mm; 180°. Ensemble: 170/180? à 250? (DH10).

Vespasien ou Vespasien pour Titus César, Rome ou Lyon, 72-73, as
RIC II, 528, 623 ou 747; (rv.) BMC II, pl. 38.9.

1427. VS90/6862-01. AE; 8.91 g; 27.6/26.1 mm; 180°. Ensemble: 80/90 à 100/110 (BH8).

Vespasien, Rome ou Lyon, 69-79, as
RIC II, indéterminé.

1428. VS90/6899-08. AE; 9.05 g; 27.8/27.2 mm; 0°. Ensemble: 40/50 à 70/80 (BH6).

Vespasien ou Titus, Rome ou Lyon, 71-81, as
RIC II, 500; 82, 172 (Rome); (rv.) BMC II, pl. 39.6 (Lyon).

1429. VS90/6760-04. AE; 9.46 g; 26.7/25.1 mm; 180°. Ensemble: 80/90 à 100/110 (BH8).

Domitien, Rome, 85-86, dupondius
RIC II, 291a ou b, 325.

1430. VS90/8093-02. AE; 9.18 g; 27.0/26.2 mm; 190°. Ensemble: 90/100 à 100/110? (DH8).

Domitien, Rome, 87, as
RIC II, 356b.

1431. VS90/6863-02. AE; 9.35 g; 27.5/26.6 mm; 180°. Ensemble: 80/90 à 100/110 (BH8).

Domitien, Rome, 85-96, as
RIC II, 305a, 340, 356a-b, 373, 397, 409 ou 424a.

1432. VS90/6863-01. AE; 6.31 g; 27.4/25.4 mm; 180°. Ensemble: 80/90 à 100/110 (BH8).

Domitien, Rome, 86-96, dupondius
RIC II, 331, 368, 393, 406 ou 421.

1433. VS90/6783-01. AE; 10.74 g; 27.2/26.6 mm; 180°. Ensemble: époque romaine.

Domitien, Rome, 90-96, as
RIC II, 203.395; 205.408, 206.423.

1434. VS90/6764-01. AE; 7.34 g; 27.2/26.3 mm; 180°. Ensemble: 80/90 à 100/110 (BH8).

Domitien, Rome, 81-96, as
RIC II, indéterminé.

1435. VS90/6766-03 et -01. AE; 9.43 g; 30.3/28.6 mm; 180°. Ensemble: 80/90 à 100/110 (BH8).

Domitien, Rome, 81-96, as
RIC II, indéterminé.

1436. VY90/6757-03. AE; 8.45 g; 28.0/26.2 mm; 160°. Ensemble: époque romaine.

Nerva, Rome, 96-97, as
RIC II, 64 ou 100.

1437. VY89/5620-02 et -01. AE; 9.64 g; 26.4/25.2 mm; 180°. Ensemble: 70/80 à 100/110.

Nerva, Rome, 97, dupondius
RIC II, 87.

1438. VS90/6790-02. AE; 10.73 g; 26.2/25.1 mm; 180°. Ensemble: 80/90 à 100/110 (BH8).

Indéterminé, I^{er} s., dupondius ou as
RIC I-II, indéterminé.

1439. VY90/6757-05. AE; 8.26 g; 19.4/17.1 mm; 170°. Ensemble: époque romaine.

1440. VS90/6899-16. AE; 7.54 g; 26.4/25.5 mm; 0°. Ensemble: 40/50 à 70/80 (BH6).

1441. VY89/5612-03. AE; 6.95 g; 24.4/23.4 mm; 0°. Ensemble: époque romaine.

1442. VS90/6788-01. AE; 6.83 g; 25.4/24.2 mm; 180°. Ensemble: 70/80 à 80/90 (BH7).

Trajan, Rome, 98-99, as
RIC II, 395 ou 402.

1443. VY89/5739-01. AE; 9.99 g; 27.1/26.1 mm; 180°. Ensemble: 100/110 à 180/200 (AH9).

Trajan, Rome, 98-99, as
RIC II, 392.

1444. VS90/6760-01. AE; 9.89 g; 29.1/28.1 mm; 150°. Ensemble: 80/90 à 100/110 (BH8).

Trajan, Rome, 99-100, dupondius
RIC II, 414.

1445. VS90/6865-01. AE; 14.21 g; 27.6/26.9 mm; 190°. Ensemble: 80/90 à 100/110 (BH8).

Trajan, Rome, 98-102, sesterce
RIC II, 388, 399, 400, 412, 430 ou 431.

1446. VS90/8002-04. AE; 24.44 g; 33.8/32.6 mm; 180°. Ensemble: 100/110 à 170/180? (BH9).

Trajan, Rome, 103-111, as
RIC II, 503.

1447. VS90/6766-03 et -02. AE; 8.07 g; 26.8/25.4 mm; 195°. Ensemble: 80/90 à 100/110 (BH8).

Hadrien, Rome, 119-121, dupondius
RIC II, 597d.

1448. VS90/6814-02. AE; 10.3 g; 26.5/25.5 mm; 180°. Ensemble: 100/110 à 170/180? (BH9).

Hadrien, Rome, 132-134, dupondius ou as
RIC II, 714c.

1449. VY90/8112-01. AE; 9.25 g; 27.1/25.5 mm; 180°. Ensemble: 180/200 à 250? (CH10).

Hadrien, Rome, 117-138, as
(rv.) BMC III, 1341?

1450. VY90/6668-01. AE; 8.37 g; 24.8/23.7 mm; 180°. Ensemble: 100/110? à 180/200 (CH9).

Hadrien, Rome, 119-138, dupondius
RIC II, 974i.

1451. VY89/5612-14. AE; 13.58 g; 26.0/25.0 mm; 180°. Ensemble: époque romaine.

Hadrien, Rome, 134-138, dupondius ou as
RIC II, 801c.

1452. VY89/5759-01. AE; 13.56 g; 25.3/24.1 mm; 180°. Ensemble: fin I^{er}-III^e s. apr. J.-C.

Antonin le Pieux, Rome, 143-144, as
RIC III, 734a.

1453. VS90/6814-01. AE; 9.19 g; 26.5/24.6 mm; 160°. Ensemble: 100/110 à 170/180? (BH9).

Antonin le Pieux pour Marc Aurèle César, Rome, 145, dupondius ou as
RIC III, 1260.

1454. VY90/8112-02. AE; 8.45 g; 24.7/22.8 mm; 180°. Ensemble: 180/200 à 250? (CH10).

Antonin le Pieux, Rome, 138-161, as
RIC III, indéterminé.

1455. VY89/5652-02. AE; 7.5 g; 25.6/23.7 mm, 180°. Ensemble: 180/200 à 250? (AH10).

Antonin le Pieux pour Faustine I divinisée, Rome, 141-161, as
RIC III, 1169a ou 1171a.

1456. VY90/6661-01. AE; 10.66 g; 25.9/24.8 mm; 180°. Ensemble: I^{er}-III^e s. apr. J.-C.

Marc Aurèle, Rome, 162-163, dupondius
RIC III, 546.

1457. VY89/5717-02. AE; 10.61 g; 26.0/25.1 mm; 350°. Ensemble: 180/200 à 250? (AH10).

Marc Aurèle, Rome, 168-170, dupondius
RIC III, 965, 982.

1458. VY89/5112-01. AE; 12.83 g; 25.3/23.8 mm; 360°. Ensemble: époque romaine.

Marc Aurèle, Rome, 161-180, as
RIC III, 991.

1459. VY89/5712-01. AE; 5.52 g; 22.8/21.3 mm; 360°; imitation? coulé?
Ensemble: fin I^{er}-III^e s. apr. J.-C.

Marc Aurèle pour Lucille, Rome, c. 164-180, as
RIC III, 1741.

1460. VY89/5782-02. AE; 8.58 g; 25.1/23.6 mm; 360°; imitation; coulé.
Ensemble: milieu I^{er}-III^e s. apr. J.-C.

Commode, Rome, 181, as
RIC III, 319b.

1461. VY89/5661-01. AE; 8.65 g; 24.3/23.4 mm; 360°; imitation; coulé.
Ensemble: 100/110 à 180/200 (AH9).

Indéterminé, I^{er}-II^e siècle apr. J.-C., dupondius ou as
RIC I-III, indéterminé.

1462. VS90/8046-06. AE; 9.72 g; 26.5/25.8 mm; 0°. Ensemble: 170/180? à 250? (DH10).

1463. VS90/6766-07. AE; 9.40 g; 26.4/26.0 mm; 0°. Ensemble: 80/90 à 100/110 (BH8).

Septime Sévère pour Albin César, Rome (4^{ème} émission), 194, denier
var. RIC IV/1, 4a; BMC V, 91; P. V. Hill 1977, 9.108.

1464. VY89/5633-05. AR; 2.47 g; 18.2/17.0 mm; 360°. Ensemble: 180/200 à 250? (AH10).

Septime Sévère pour Julie, Rome (2^e émission), 213, denier
RIC IV/1, 382; P. V. Hill 1977, 32.1329.

1465. VY89/5632-02. AR; 1.48 g; 18.6/17.5 mm; 360°. Ensemble: 180/200 à 250? (AH10).

Macrin, Rome, 217-218, denier
RIC IV/2, indéterminé.

1466. VS90/6843-01. AE; 1.86 g; 19.3/18.2 mm; 0°; fourré.
Ensemble: 70/80 à 80/90 (BH7).

Gordien III, Rome (4^e émission), 241-243, denier
RIC IV/3, 111.

1467. VY89/5624-12. AR; 2.04 g; 18.4/17.6 mm; 180°. Ensemble: 180/200 à 250? (AH10).

Tétricus I, Cologne (7^e émission), 274, antoninien
RIC V/2, 148; Elmer 1941, 83.780.

1468. VY90/6757-01. AE; 2.24 g; 21.2/16.8 mm; 40°.
Ensemble: époque romaine.

Constantin I, atelier indéterminé., 313-319, follis
(type) Bruck, p. 68.

1469. VY90/6754-04. AE; 2.6 g; 20.9/19.2 mm; 150°.
Ensemble: 10/20 à 40/50 (CH5).

Indéterminé, 2^e moitié du IV^e s., aes III
Bzuck ind.

1470. VY90/6757-02. AE; 2.07 g; 17.2/16.2 mm; 360°.
Ensemble: époque romaine.

F. Monnaies indéterminées (I^{er} siècle av.- IV^e siècle apr. J.-C.)

1471. VY89/5861-03 AE; 4.24 g; 19.4/16.7 mm, 0°.
Ensemble: 10/20 à 40/50 (AH5).

1472. VS90/6806-06. AE; 1.18 g; 15.6/13.7 mm; 0°.
Ensemble: 40/50 à 70/80 (BH6).

1473. VS90/6760-05. AE; 1.03 g; 16.3/13.8 mm; 0°.
Ensemble: 80/90 à 100/110 (BH8).

G. Monnaies indéterminées ou non monétaires

1474. VY89/6563-01. AE; 5.98 g; - mm; 0°; fragmentaire.
Ensemble: époque romaine.

1475. VS90/6777-01. AE; 3.49 g; 27.3/25.4 mm; 0°; fragmentaire.
Ensemble: 80/90 à 100/110 (BH8).

1476. VY90/6638-08. AE; 1.23 g; 22.7/21.3 mm; 0°; fragmentaire.
Ensemble: 1er-3e s. apr. J.-C.

1477. VY90/6636-03. AE; 0.7 g; - mm; 0°; fragmentaire.
Ensemble: 60/70 à 70/80 (CH7).

A) Gaule



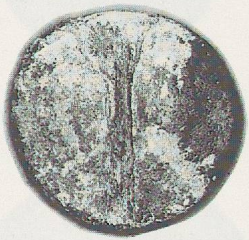
1215



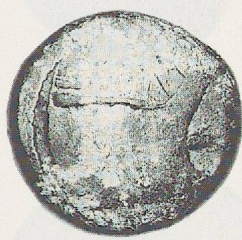
1216



B) République



1230



1239



D) Gallo-romaines



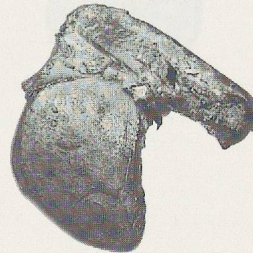
1264



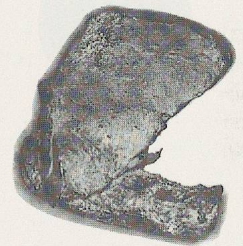
E) Empire romain



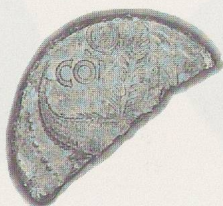
1272



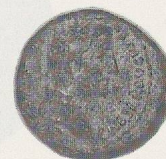
1273



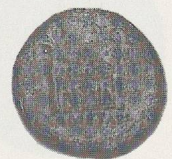
1284



1300



1324





1351



1355



1363



1393



1412



1414



1421



1431



1448



1453



1454



1461



1464



Notes

1. Nous remercions tout particulièrement les archéologues du site, S. Berti Rossi et C. May Castella, pour les informations qu'elles nous ont communiquées.
2. Celles-ci nous sont parvenues au fur et à mesure de l'avancement des fouilles. Nous remercions les différents collaborateurs du Cabinet des médailles: S. Frey-Kupper et C. Schwartz pour leur participation à l'identification partielle des monnaies, M. Prod'hom et S. Ramseyer pour la restauration méthodique et la photographie de celles-ci.
3. Voir p. 10.
4. Maisons A, C et D: horizons 3 à 10; maison B: horizons 2 à 9.
5. Ces monnaies sont en partie issues des déblais de la fouille. La détection a été effectuée par M. Kury.
6. Pour le système de mise en horizons des ensembles, voir p. 10-12.
7. Martin 1965, pp. 113-215 et Martin 1980, pp. 162-167. Le catalogue des monnaies trouvées entre 1985 à 1990 est encore inédit. Il sera intégré à une étude générale des monnaies de Lausanne et Vidy avec la révision des travaux antérieurs.
8. 62,2% dans la maison A; 50% dans la B; 69,7% dans la C et 57,7% dans la D.
9. 42,3% dans la maison A; 37,1% dans la B; 33,3% dans la C et 34,6% dans la D.
10. Voir *supra*, groupes 1 et 2, p.302, fig. 41.
11. Voir p. 13, fig. 3.
12. On a déjà relevé *supra* p.304 l'apport global important de ces séries monétaires (fig. 44: 142/263, soit 54%).
13. Geiser et alii 1991, p. 212 et König 1994, pp. 94-96.
14. Amandry 1986, pp. 22 et 27 pour la datation de la réforme et ses prémisses.
15. Cat. 1218.
16. A la lumière des trouvailles de Bâle: Furger-Gunti 1981, pp. 231-246.
17. Fischer et Giard 1992, pp.119 et 123.
18. Cette date correspond aussi au tout début de la fourchette d'occupation de Chavannes 11, soit du niveau d'où provient notre exemplaire.
19. Geiser et alii 1991, p. 212.
20. 4 pièces dont 1 à 2 provinciales, cat. 1235 (denier), 1232 (DIVOS IVLIVS), 1239 (Vienne), 1259 (République indét.).
21. Geiser et alii 1991, p. 212.
22. König 1994, p. 95.
23. Zehnacker 1984, pp. 58-61: nos quatre pièces correspondent aux séries: I.3 centrés: cat. 1268 et 1278; I.3 décentrés: cat. 1276 et I.4 au cimier: cat.1280.
24. Geiser et alii 1991, p. 212.
25. König 1994, pp. 96-97.
26. König 1994, p. 97, propose le deuxième quart du I^{er} siècle de notre ère d'après ses observations à Avenches En Chaplix.
27. Geiser et alii 1991, p. 212.
28. König 1994, pp. 94-95: confondues car leur identification par série n'a pas été possible.
29. Cat. 1347. K. Kraft 1955-1956, pp. 95-111: série II, ca 16/15 av. J.-C. et RIC I², 373: 16 av. J.-C.
30. Cat. 1376, 1384 et 1393.
31. Zehnacker 1984, p. 90; Kraay 1962, p. 64. On peut ajouter également dans notre région d'autres exemples comme précédemment Saint-Gervais, mais aussi Martigny dont certaines zones du tissu urbain ne remontent qu'à Claude I^{er}.
32. Kraay 1962, p. 22 suivi par von Kaenel 1972, p. 107 pour Avenches. Comme l'a déjà remarqué Kunisz 1976, p. 136, les chercheurs ne disposaient pas de sources complètes à l'époque.
33. Kraft 1955-1956, pp. 95-111. Voir aussi la critique de Kunisz 1976, pp. 135-138 et 159.
34. Morel-Fatio 1890, pp. 85-88.
35. Cassius Dio Cocceianus, *Historia Romana* 78, 15 (éd. U.F. Boissvain 3, 1901, 201) rappelle que Trajan ordonne en 107 de retirer les monnaies anciennes pour les refondre.
36. Von Kaenel 1972, p. 121: A Avenches, la majorité des frappes de Néron et de Vespasien provient de Lyon; Kraay 1962, p. 39: A Vindonissa, le pourcentage de monnaies de l'atelier lyonnais est largement supérieur. König 1994, pp. 88-93 (en particulier pp.76-93): A En Chaplix, le nombre total de monnaies frappées à Rome s'élève à 11, ce qui correspond à 52%. Il est surprenant que ce pourcentage soit aussi différent de celui de l'ensemble du site.
37. Turcan R., Pour une étude quantitative de la frappe de bronze sous le Haut Empire, *Congrès international de Numismatique (Rome 1961)*, Rome 1965, pp. 353-361; *id.*, Le trésor de Guelma, Paris, 1963, pp. 55-56.
38. Sur la politique monétaire de Septime Sévère et ses conséquences: Callu J.-P., Approches numismatiques de l'histoire du III^e siècle (238-311), *ANRW* II/2, Berlin, New-York, 1975, pp. 594-613 (p.599); Turcan R., op. cit., pp. 356, 359-360; Desnier J.-L., Le trésor de Puy-Dieu, *Trésors monétaires* VII, 1985, pp. 36-37. Le numéraire frais demeure en Italie, tandis que la Gaule, tout comme les autres provinces voisines (Plateau suisse), souffriront de pénurie en petite monnaie. Voir à ce sujet les pourcentages fournis par Doppler H., *Die römischen Münzen aus Baden, Handel und Handwerk im römischen Baden*, Baden, 1983, pp. 3-12.
39. Après la refonte de l'ancien monnayage de bronze entreprise dès 107 sous le règne de Trajan (Cassius Dion Cocceianus, op. cit., voir *supra* note 35), on observe une raréfaction notoire du numéraire antérieur à l'année 69 dans les trouvailles de sites et les trésors de la Gaule romaine datés du II^e siècle. Voir Mitard P.-H., Le trésor d'Epiais-Rhus, *Trésors Monétaires* VII, 1985, p. 12. Ce chercheur fait observer que les effets de cette tentative de démonétisation sont difficiles à cerner et peuvent sensiblement varier suivant les parties de l'empire.
40. Depeyrot G. et Hollard D., Pénurie d'argent-métal et crise monétaire au III^e siècle apr. J.-C., *Histoire et Mesure* II, 1, 1987, pp. 57-85.
41. Doppler H., op. cit., pp. 3-12.
42. Monnaies divisées, voir Buttrey 1972, pp. 31-48 ou Amandry 1986, pp. 21-24.
43. Geiser et alii 1991, pp. 212-214.
44. König 1994, pp. 95-97; à Avenches (sauf En Chaplix), comme à Vidy et en Suisse occidentale, ce sont les monnaies républicaines, coloniales de Vienne et Copia et surtout de Nîmes qui sont divisées. Pour Avenches, voir aussi von Kaenel 1972, pp. 63-95 et 123-124.
45. Contrairement à Avenches (sauf En Chaplix), König 1994, p. 97, note 101: Nîmes divisées = 51,9% des nîmoises.
46. Fouilles de Chavannes 29 en 1983-85 ou du Boulodrome en 1990.
47. König 1994, p. 97, note 101, observe le même phénomène à Avenches (sauf En Chaplix), où les monnaies des séries de la République romaine (54,8%), de Vienne (88,9%), Copia-Lyon (66,7%) sont majoritairement divisées.

48. La datation précise du début de leur division est toutefois difficile. Le trésor de Port-Haliguen confirme une datation de peu antérieure à notre ère: Giard J.-B., Le trésor de Port-Haliguen. Contribution à l'étude du monnayage d'Auguste, *Revue Numismatique* 9, 1967, Société française de Numismatique, Paris, p.124.

49. Buttrey 1972, p. 47.

50. Zehnacker 1984, pp. 75-77; Amandry 1986, pp. 21-34, particulièrement pp. 21 et 27-28: L'examen du poids de ces bronzes permet de les situer dans la séquence des productions qui succèdent d'une part à la réduction semi-onciale du poids de l'*as* (*Lex Papiria de assis ponderè*): Vienne, Copia, Nîmes I et, d'autre part, à la réforme d'Auguste, soit à la réduction quart-onciale du poids de l'*as*: Nîmes II. H. Jucker proposait déjà la valeur de *dupondius* pour les *as* républicains retrouvés dans la circulation julio-claudienne (voir Jucker. H., Recension de C. Kraay 1962, *Revue suisse d'histoire* 14, Berne, 1964, p. 567). Il a été suivi par von Kaenel 1972, p. 107, note 131.

51. Morel-Fatio 1890, pp. 86-87, observait que les monnaies républicaines, provinciales et nîmoises fractionnées le sont toujours de manière à laisser une tête jumelée bien en évidence comme sur l'*as*.

52. Buttrey 1972, p. 47.

53. En Suisse occidentale, la comparaison des trouvailles rapportée par Morel-Fatio 1890, pp. 85-88, permet d'observer moins de 1% de monnaies partagées du second groupe. C'est aussi le cas à Avenches d'après la publication de von Kaenel 1972, pp. 63-95 et 123-124. Buttrey 1972, p. 41, confirme la présence plus importante du second groupe dans les sites rhénans. A Vindonissa, par exemple, Kraay 1962, p. 7, relève des monnaies fractionnées pour tous les empereurs julio-claudiens sauf Caligula.

54. Le peu de monnaies d'airain divisées trouvées dans le trésor de la Villeneuve-au-Châtelot est peut-être fonction de la nature et de la composition de cet ensemble. C'est en effet l'argent qui domine la composition en républicaines particulièrement (193/11 d'airain dont 3 coupées). Parmi les nîmoises, 18,8% sont partagées, soit 69/297.

55. Pourcentages donnés par von Kaenel 1972, p. 107; *Novaesium VIII*, p. 40. Il est difficile d'apprécier, compte-tenu des données encore insuffisantes et des pourcentages souvent erronés, si la circulation des monnaies d'argent des sites militaires est à distinguer de celle des sites civils. *Novaesium VIII*, pp. 40-41, estime que les pourcentages plus bas sont trompeurs. Il est certain qu'une analyse de la composition métallique de l'ensemble des quinaires et des deniers augmenterait le pourcentage des monnaies fourrées de manière spectaculaire.

56. L'origine de celles-ci demeure encore controversée (ateliers officiels ou non officiels): état de la question dans *Novaesium VIII*, p. 41, et Peter M., *Eine Werkstätte zur Herstellung von Subaeraten Denaren in Augusta Raurica*, Studien zur Fundmünzen der Antike 7, Berlin, 1990, pp. 74-77.

57. Crawford M. H., Plated and false coins, *Numismatic Chronicle* 8, 1968, Royal Numismatic Society, Londres, pp. 55-59 affirme que les monnaies fourrées sont extrêmement rares dans les trésors.

58. La durée de circulation de ces espèces dans la première moitié du I^{er} siècle de notre ère peut être observée dans le petit trésor découvert en 1985 à Lausanne-Vidy: Geiser A. et Abetel E., Un petit trésor mixte à Lausanne- Vidy, *GNS* 36, 1986, pp. 35-40. Contrairement à ce que nous croyions à l'époque, le «quinnaire» très abîmé (catalogue n° 1) est gaulois. Il s'agit sans aucun doute d'une émission, probablement fourrée, allobroge ou d'un autre peuple de la moyenne vallée du Rhône. Le *terminus postquem* de ce trésor nous est fourni par l'aureus fourré de la légion «Vindex» habituellement daté de 68 apr. J.-C.

59. La durée de circulation de ces espèces dans la première moitié de notre ère peut être constatée dans le trésor découvert en 1824 à Dombresson: Martin C., La trouvaille monétaire de Dombresson, *Musée Neuchâtelois* 3, 1971, pp. 3-34.; de Rougemont D., La trouvaille de Dombresson, *GNS* 25, 1975, pp. 7-13. Geiser A., Deniers du trésor de Dombresson à Lausanne, *GNS* 34, 1984, pp. 33-36. Sur près de 400

monnaies connues, 285 au moins sont des deniers républicains frappés entre 206 et 27 av. J.-C. L'émission la plus récente de ce trésor est un aureus de Néron frappé entre 54 et 55 de notre ère qui nous en fournit le *terminus* d'enfouissement. Bolin 1958, p. 336 montre que dans les trésors flaviens, soit dans la deuxième moitié du I^{er} siècle, les deniers républicains forment en moyenne les 2/3 du nombre des monnaies.

60. Selon Bolin 1958, pp. 342-346, les trésors enfouis en Angleterre à l'époque d'Hadrien contiennent parfois encore un très faible pourcentage de monnaies d'Auguste. Les trésors continentaux n'en contiennent plus. Ils sont absents des trésors enfouis sous les Antonins en Grande-Bretagne et en Europe continentale.

61. Geiser et alii. 1991, p. 212.

62. König 1994, p. 94.

63. Voir *supra*, note 35.

64. Bolin 1958, pp. 196 -207.

65. Cat. 1425. Droit: Cohen I, 298. 250 et revers RIC II, 580b; Cohen I, 297-298. 240-248.

66. Cat. 1461.

67. Mitard P.-H., op.cit., pp. 12-13; J.-L. Desnier, op. cit., p. 36.

68. Geiser A. et Serneels M., Allaman. La Claveleyres, *Inventaire des trouvailles monétaires suisses*, Académie des sciences humaines et sociales, Lausanne-Zurich, 1993, p. 129, n° 48: Commode pour Crispine coulé.

69. Les monnaies de Chavannes 11 sont trop corrodées pour permettre une détermination des degrés d'usure selon les tables proposées par l'*Inventaire des trouvailles monétaires suisses* (éd.), bulletin 2, supplément, Lausanne, 1995. L'examen d'un trésor contenant des monnaies d'airain permet ce genre d'observations: Mitard P.-H., Le trésor d'Épiais-Rhus, *Trésors monétaires VII*, 1985, p. 14: «... dans le trésor d'Épiais-Rhus, quelques sesterces de Commode, de Marc Aurèle et même d'Antonin le Pieux ont pu atteindre les environs du début du règne de Postume avec une usure très réduite». On observe un phénomène semblable dans les trouvailles des tombes du V^e-VI^e siècle de La Tour de Peilz par exemple, où des monnaies d'airain julio-claudiennes présentent une usure et une corrosion particulièrement réduite par rapport à des monnaies plus tardives découvertes dans les mêmes circonstances. Les usures et les corrosions sont fonction de plusieurs facteurs dont les caractéristiques sont indiquées par Delamare F., Le frai et ses lois. The wear of coins. Circulation et usure des monnaies, *Cahiers Ernest-Babelon* 5, Paris, 1994, p. 67 sq.:

- les caractéristiques physiques de l'objet, soit de sa forme (module, surface, épaisseur, volume, poids, relief originel des types), de la nature des alliages monétaires (choix des métaux, dureté et résistance à la corrosion) et des techniques de fabrication propres à l'atelier (type de fabrication, température, types et usure des outils de fabrication, recuit de la pièce)
- les caractéristiques de sa circulation (résultant des hasards d'utilisation: pays, climat, poussières, fréquence, vitesse, qualité et durée de l'usage)
- la qualité et la nature du milieu dans lequel les monnaies ont séjourné après leur perte ou leur abandon. Plusieurs de ces caractéristiques ne peuvent pas être quantifiées car elles relèvent du pur hasard. D'autres ne le peuvent pas également en raison d'études encore trop fragmentaires (identification de la production des ateliers; origine, nature et résistance des métaux, etc.). L'observation des degrés d'usure et de corrosion, même s'il est possible de les quantifier, aura par conséquent une valeur d'interprétation très approximative, à manier avec la plus extrême prudence.

